



Shahid Bahonar
University of Kerman



Iranian
Biotechnology Society

Evaluation of some secondary metabolites, morphophysiological and biochemical characteristics of *Calendula officinalis* L. under the influence of chitosan elicitor in *in vitro* culture

Mojgan Soleimanizadeh 

*Corresponding author. Assistant Professor, Department of Horticultural Science and Engineering, Faculty of Agriculture and Natural Resources, University of Hormozgan, Bandar Abbas, Iran. E-mail address: m.soleimanizadeh@hormozgan.ac.ir

Alireza Yavari 

Associate Professor, Department of Horticultural Science and Engineering, Faculty of Agriculture and Natural Resources, University of Hormozgan, Bandar Abbas, Iran. E-mail address: yavari313@gmail.com

Yoones Mahmoodi

MSc Student, Department of Horticultural Science and Engineering, Faculty of Agriculture and Natural Resources, University of Hormozgan, Bandar Abbas, Iran. E-mail address: younes_mahmoodi@yahoo.com

Abstract

Objective

Due to its important medicinal metabolites (including calenduloside, quercetin, and others), *Calendula officinalis* L. is considered an excellent source for new drugs. One of the biotechnological tools for enhancing the production of these metabolites is the use of the elicitation process *in vitro* culture. Therefore, the aim of this study was to improve the medicinal metabolites, morphophysiological characteristics, and biochemical properties of this plant under the influence of chitosan elicitor *in vitro* culture.

Materials and methods

In this study, the effects of different seed sterilization methods and seed coating on the germination rate and seed contamination of *Calendula officinalis* L. were evaluated. A factorial experiment was conducted in a completely randomized design with two factors (sterilization method and seed coating type) and four replications. Then, Low molecular weight chitosan elicitor was prepared in different concentrations (0, 25, 50, and 75 mg/L) and applied to the seeds. Finally, the effects of chitosan on the improvement of morphophysiological, metabolite, and biochemical traits of *Calendula officinalis* L. *in vitro* culture were investigated.

Results

The results of the interaction effect between sterilization method and seed coating showed that treatment S₂C₁ (second sterilization method, place in 10% benomyl fungicide for 5 minutes, place in 70% ethanol for 30 seconds, place in 1% sodium hypochlorite for 15 minutes, combined with no seed coating) had the highest germination percentage (100) compared to other treatments. The results of simple main effect analysis of sterilization methods showed that the highest and lowest contamination rates were related to the first (S₁) and third (S₃) sterilization methods, respectively. The results of the mean comparison indicated a significant increase in the traits of plant height, fresh weight of seedlings, number and length of roots, stem length, and leaf number and width in all chitosan concentrations compared to the control. The highest and lowest amounts of flavonoids, total phenol, antioxidant activity, anthocyanin, carotenoids, chlorophyll a and b, catalase, peroxidase, and proline content were found in the treatment with 50 mg/L chitosan and the control, respectively. The highest and lowest levels of malondialdehyde were observed in the control and 50 mg/L chitosan treatments.

Conclusions

Overall, the results showed that a chitosan concentration of 50 mg/L was more effective in improving the morphophysiological, metabolic, and biochemical traits of *Calendula officinalis* L. *in vitro* culture.

Keywords: Elicitation, Flavonoid, Medicinal Plant, Plant Tissue Culture, Secondary metabolite

Paper Type: Research Paper.

Citation: Soleimanizadeh, M., Yavari, A., & Mahmoodi, Y. (2025). Evaluation of some secondary metabolites, morphophysiological and biochemical characteristics of *Calendula officinalis* L. under the influence of chitosan elicitor in *in vitro* culture. *Agricultural Biotechnology Journal*, 17(2), 1-30.

Agricultural Biotechnology Journal 17(2), 1-30.

DOI: 10.22103/jab.2025.24064.1618

Received: December 9, 2024.

Received in revised form: January 29, 2025.

Accepted: January 30, 2025.

Published online: March 31, 2025.

Publisher: Faculty of Agriculture and Technology Institute of Plant Production, Shahid Bahonar University of Kerman-Iranian Biotechnology Society.

© the authors



Introduction

The genus *Calendula* includes approximately 25 annual or perennial herbaceous species, with the most common and oldest species being *Calendula officinalis* L. This plant contains numerous phytochemical compounds and various medicinal activities, making it an excellent source for developing new drugs. Some of the most important medicinal components of this plant belong to different classes of chemical compounds, including terpenoids, flavonoids, triterpenoid esters, steroids, phenolic compounds, carotenoids, triterpenoids, essential oils, quinones, fatty acids, minerals, saponins, carbohydrates, sterols, and tocopherols. Due to its richness in these secondary metabolites, the plant exhibits various biological activities, such as anti-inflammatory, anti-diabetic, antioxidant, anticancer, antimicrobial, anti-ulcer, antifungal, antiviral, antithrombogenic, neuroprotective, skin-protective, and anti-fatigue effects. All these properties and secondary metabolites highlight the importance of the *Calendula officinalis* L. plant as a valuable medicinal herb in traditional medicine. The tissue culture technique has been widely used for the rapid production of uniform, disease-free, and high-quality plants on a commercial scale. In vitro culture systems in *Calendula officinalis* L. can propagate this plant through micropropagation, thus serving as an efficient solution for preserving the genetic resources of this valuable plant. Additionally, through in vitro methods such as callus culture, cell suspension culture, and hairy root culture, the continuous supply of bioactive metabolites of this plant can be ensured. Therefore, propagation under in vitro conditions is a crucial step in meeting the demand for such a plant. One of the promising biotechnological tools for enhancing the production of secondary metabolites in plants is the use of the elicitation process in in vitro culture using elicitors. Elicitors are compounds derived from both biotic and abiotic sources that can trigger the plant's response to stress, leading to the intensification of plant secondary metabolite biosynthesis, a process known as "elicitation." Elicitors are classified into two categories based on their origin: biotic elicitors and abiotic elicitors. Abiotic elicitors include physical, chemical, and hormonal factors, while biotic elicitors are substances of biological origin, including polysaccharides and pathogens. The aim of this study is to evaluate the secondary metabolites and morphophysiological characteristics of *Calendula officinalis* L. under the influence of yeast extract, silver nitrate, and chitosan in in vitro culture.

Materials and methods

In this study, the effects of different seed sterilization methods and seed coating on the germination percentage and seed contamination of *Calendula officinalis* L. were evaluated. For this purpose, a factorial experiment was conducted in a completely randomized design with two factors, 4 replications, and 5 seeds per replication. The first factor consisted of three levels of

different disinfection methods, and the second factor involved seed coating at two levels (with and without coating). Additionally, chitosan elicitor with low molecular weight was prepared at various concentrations (0, 25, 50, and 75 mg/l) and added to Murashige and Skoog medium. This experiment was also designed in a completely randomized design with 4 treatments, 3 replications, and 5 seeds per replication. The chitosan powder was initially dissolved in 2% acetic acid, and the required concentrations were prepared from this solution. After approximately one-month, morphological parameters such as seedling height, stem length, root number and length, leaf number and width, and fresh seedling weight were assessed using a caliper, manual counting, and a balance. Furthermore, the effect of the elicitor on other traits such as carotenoids, chlorophyll, total phenol, total flavonoids, antioxidant activity, proline, anthocyanins, malondialdehyde, catalase, and peroxidase was also evaluated. This experiment investigates the effects of various seed disinfection methods and seed coating on germination and early growth of *Calendula officinalis* L., as well as the impact of chitosan elicitor on improving the physiological and biochemical traits of the plant.

Results

The results of the interaction effect between sterilization method and seed coating showed that treatment S₂C₁ (second sterilization method, place in 10% benomyl fungicide for 5 minutes, place in 70% ethanol for 30 seconds, place in 1% sodium hypochlorite for 15 minutes, combined with no seed coating) had the highest germination percentage (100) compared to other treatments. The results of simple main effect analysis of sterilization methods showed that the highest and lowest contamination rates were related to the first (S₁) and third (S₃) sterilization methods, respectively. The results of the mean comparison indicated a significant increase in the traits of plant height, fresh weight of seedlings, number and length of roots, stem length, and leaf number and width in all chitosan concentrations compared to the control. The highest and lowest amounts of flavonoids, total phenol, antioxidant activity, anthocyanin, carotenoids, chlorophyll a and b, catalase, peroxidase, and proline content were found in the treatment with 50 mg/L chitosan and the control, respectively. The highest and lowest levels of malondialdehyde were observed in the control and 50 mg/L chitosan treatments.

Conclusions

Chitosan has been widely used in *in vitro* conditions to enhance growth in tissue cultures and promote the production of secondary metabolites. Most studies have reported significant improvements when this biological elicitor is added to the basal medium or when it replaces conventional plant growth regulators. Due to its unique characteristics, chitosan is also considered

a biocompatible material for mass propagation of plants and increasing the industrial production of bioactive compounds through environmentally friendly methods. In this study, the results generally showed that chitosan improved the growth, physiological, metabolic, and biochemical traits of *Calendula officinalis* L. Among all the concentrations used, the 50 mg/l concentration was found to be the most effective in improving these traits.

Author Contributions

Conceptualization: Soleimanizadeh M, Methodology: Soleimanizadeh M, Software: Soleimanizadeh M, Validation: Soleimanizadeh M, Formal analysis: Soleimanizadeh M, Investigation: Soleimanizadeh M; Resources: Soleimanizadeh M, Data curation: Mahmoodi Y and Yavari A, Writing-original draft preparation: Soleimanizadeh M, Writing-review and editing: Soleimanizadeh M, Visualization: Soleimanizadeh M, Supervision: Soleimanizadeh M, Project administration: Soleimanizadeh M, Funding acquisition: Mahmoodi Y and Yavari A. All authors have read and agreed to the published version of the manuscript.

Data Availability Statement

Not applicable.

Acknowledgements

The authors thank all participants in this study.

Ethical Considerations

The authors avoided data fabrication, falsification, plagiarism, and misconduct.

Funding

The study was funded by the University of Hormozgan, Iran.

Conflict of Interest

The authors declare no conflict of interest.

ارزیابی برخی متابولیت‌های ثانویه، ویژگی‌های مورفووفیزیولوژیکی و بیوشیمیایی گیاه همیشه بهار تحت تاثیر الیسیتور کیتوزان در کشت درون شیشه‌ای

ID مژگان سلیمانی زاده

*نویسنده مسئول: استادیار، گروه علوم و مهندسی باغبانی، دانشکده کشاورزی و منابع طبیعی، دانشگاه هرمزگان، بندرعباس، ایران.

رایانامه: m.soleimanizadeh@hormozgan.ac.ir

ID علیرضا یاوری

دانشیار، گروه علوم و مهندسی باغبانی، دانشکده کشاورزی و منابع طبیعی، دانشگاه هرمزگان، بندرعباس، ایران.

رایانامه: yavari313@gmail.com

یونس محمودی

دانشجوی کارشناسی ارشد، گروه علوم و مهندسی باغبانی، دانشکده کشاورزی و منابع طبیعی، دانشگاه هرمزگان، بندرعباس، ایران.

رایانامه: younes_mahmoodi@yahoo.com

تاریخ دریافت فایل اصلاح شده نهایی: ۱۴۰۳/۱۱/۱۰ تاریخ پذیرش: ۱۴۰۳/۱۱/۱۱ تاریخ دریافت:

چکیده

هدف: بهدلیل دارا بودن متابولیت‌های دارویی مهم (از جمله Quercetin و calenduloside وغیره) گل همیشه بهار منبع عالی داروهای جدید محسوب می‌شود. یکی از ابزارهای بیوتکنولوژیکی برای افزایش تولید این متابولیت‌ها، استفاده از فرآیند الیسیتاسیون در کشت درون شیشه‌ای است. لذا هدف از این تحقیق بهبود متابولیت‌های دارویی، ویژگی‌های مورفووفیزیولوژیکی و بیوشیمیایی گیاه تحت تاثیر الیسیتور کیتوزان در کشت درون شیشه‌ای می‌باشد.

مواد و روش‌ها: در این تحقیق، تأثیر روش‌های مختلف ضدغونی و پوشش بذر بر صفات درصد جوانهزنی و آسودگی بذور همیشه بهار مورد ارزیابی قرار گرفت. بدین منظور آزمایشی به صورت فاکتوریل در قالب طرح کاملاً تصادفی با دو فاکتور (نوع روش ضدغونی و نوع پوشش بذر) و ۴ تکرار انجام شد. سپس الیسیتور کیتوزان با وزن مولکولی پایین با غلظت‌های مختلف (صفرا، ۲۵، ۵۰ و ۷۵ میلی گرم در لیتر) تهیه و روی بذور مورد استفاده قرار گرفت. در نهایت تأثیر کیتوزان روی بهبود صفات مورفووفیزیولوژیکی، متابولیتی و بیوشیمیایی همیشه بهار در کشت درون شیشه‌ای بررسی شد.

نتایج: نتایج مقایسه میانگین اثر متقابل روش ضدغونی و پوشش بذر نشان داد که تیمار S₂C₁ (روش دوم ضدغونی، قرار دادن در قارچ کش بنومیل ۱۰ درصد به مدت ۵ دقیقه، قرار دادن در الکل ۷۰ درصد به مدت ۳۰ ثانیه، قرار دادن در هپیوکلریت سدیم ۱٪ به مدت ۱۵ دقیقه، همراه با تیمار بدون پوشش بذر) بیشترین میزان درصد جوانهزنی (۱۰۰) را در مقایسه با سایر تیمارها داشت. نتایج مقایسه میانگین اثر ساده روش ضدغونی نشان داد که بیشترین و کمترین میزان درصد آلدگی به ترتیب مربوط به روش اول (S₁) و سوم (S₃) ضدغونی می‌باشد. نتایج مقایسه میانگین نشان دهنده افزایش معنی‌دار صفات ارتفاع، وزن تر گیاهچه، تعداد و طول ریشه، طول ساقه، تعداد و عرض برگ در همه غلظت‌های کیتوzan در مقایسه با نمونه شاهد بود. بیشترین و کمترین میزان فلاونوئید، فنل کل، فعالیت آنتی‌اکسیدانی، آنتوسیانین، کاروتونوئید، کلرفیل a و b، کاتالاز، پراکسیداز و میزان پرولین به ترتیب به تیمار ۵۰ میلی‌گرم در لیتر کیتوzan و شاهد اختصاص داشت. بیشترین و کمترین میزان مالون دی‌آلدهید به تیمار شاهد و کیتوzan ۵۰ میلی‌گرم در لیتر تعلق داشت.

نتیجه‌گیری: به طور کلی نتایج نشان داد که غلظت ۵۰ میلی‌گرم در لیتر کیتوzan در بهبود ویژگی‌های مورفوفیزیولوژیکی، متابولیتی و بیوشیمیایی همیشه بهار در کشت درون شیشه‌ای موثرتر بوده است.

کلیدواژه‌ها: متابولیت ثانویه، کشت بافت گیاهی، الیسیتاسیون، گیاه دارویی، فلاونوئید.

نوع مقاله: پژوهشی.

استناد: سلیمانی زاده مژگان، یاوری علیرضا، محمودی یونس (۱۴۰۴) ارزیابی برخی متابولیت‌های ثانویه، ویژگی‌های مورفوفیزیولوژیکی و بیوشیمیایی گیاه همیشه بهار تحت تاثیر الیسیتور کیتوzan در کشت درون شیشه‌ای. مجله بیوتکنولوژی کشاورزی، ۱۷(۲)، ۳۰-۱.

Publisher: Faculty of Agriculture and Technology Institute of Plant Production, Shahid Bahonar University of Kerman-Iranian Biotechnology Society.

© the authors

مقدمه

جنس Calendula شامل تقریباً ۲۵ گونه علفی یکساله یا چند ساله می‌باشد که رایج‌ترین و قدیمی‌ترین گونه آن گیاه همیشه بهار با نام علمی Calendula officinalis L. (Ramona et al., 2020) می‌باشد. این گونه بومی کشورهای مدیترانه‌ای می‌باشد و به عنوان یک گیاه زینتی یکساله یا چندساله با ارتفاع ۶۰-۳۰ سانتی‌متر کشت می‌شود. گلچه‌های زرد یا نارنجی رنگ دارد که به عنوان رنگ در تولید مواد غذایی و لوازم آرایشی نیز استفاده می‌شود (Arora et al., 2013). با این حال، ویژگی‌های دارویی و پتانسیل درمانی گل‌ها و برگ‌های این گیاه توجه بیشتری را به خود جلب کرده است. این گیاه حاوی انواع مختلفی از مواد

فیتوشیمیایی و خواص دارویی است که آن را به یک منبع ارزشمند برای توسعه داروهای جدید تبدیل می‌کند. این گیاه برای مدت طولانی در طب سنتی برای درمان سوختگی‌های جزئی، زخم‌های گوارشی، مشکلات پوستی، ضعف بینایی، بی‌نظمی‌های قاعدگی، واریس، هموروئید، زخم اثنی عشر و غیره استفاده می‌شده است (Shahane et al., 2023). گیاه همیشه بهار یک گیاه پاک کننده و سمزدا است و دم کرده آن عفونت‌های مزمن را درمان می‌کند. داروهای مورد استفاده در حال حاضر شامل تنفس گل همیشه بهار و پماد می‌باشند که هر دو حاوی کارتوئیدهای مشتق شده از گل‌های همیشه بهار می‌باشند (Arora et al., 2013). برخی از اجزای مهم در فعالیت‌های دارویی این گیاه متعلق به کلاس‌های مختلف ترکیبات شیمیایی، ترپنوتئیدها، فلاونوتئیدها، استرهای تری ترپنول، استروئیدها، ترکیبات فنلی، کاروتون‌ها، تری ترپنوتئیدها، کینون‌ها، اسانس‌ها، اسیدهای چرب، مواد معدنی، ساپونین‌ها، کربوهیدرات‌ها و توکوفرول‌ها می‌باشند (Rad et al., 2019; Lima et al., 2022; Olennikov & Kashchenko, 2022; Shahane et al., 2023). تمامی این متابولیت‌های ثانویه اهمیت گیاه همیشه بهار را به عنوان یک گیاه دارویی در طب سنتی افزایش می‌دهد (Olennikov & Kashchenko, 2022; Shahane et al., 2023).

تکنیک کشت بافت به طور گسترده برای تولید سریع گیاهان یکنواخت، عاری از عوامل بیماری زا و با کیفیت بالا در مقیاس تجاری استفاده شده است. سیستم‌های کشت درون شیشه‌ای در گل همیشه بهار می‌توانند این گیاه را از طریق ریزازدیادی تولید کنند و در نتیجه به عنوان یک راه حل کارآمد برای حفظ منابع ژنتیکی این گیاه ارزشمند عمل نمایند (Victório et al., 2012). همچنین از طریق روش‌های کشت درون شیشه‌ای از جمله کشت کالوس، کشت سوسپانسیون سلولی و کشت ریشه‌های موئین می‌توان عرضه مدام متابولیت‌های زیست فعال این گیاه را فراهم نمود (Leal et al., 2007; Victório et al., 2012). بنابراین، تکثیر تحت شرایط درون شیشه‌ای گام مهمی در تأمین تقاضا برای چنین گیاهی خواهد بود. یکی از ابزارهای بیوتکنولوژیکی امیدوار کننده برای بهبود تولید متابولیت‌های ثانویه در گیاهان استفاده از فرآیند الیسیتاسیون (Elicitation) در کشت درون شیشه‌ای می‌باشد. الیسیتورها ترکیباتی هستند که از منابع زیستی و غیرزیستی به دست می‌آیند و می‌توانند پاسخ گیاه به تنش را القا کرده و بیوسنتر متابولیت‌های ثانویه گیاهی را تقویت کنند (Kohli et al., 2018). بر اساس منشا، الیسیتورها به دو دسته الیسیتورهای زیستی و غیر زیستی تقسیم‌بندی می‌شوند. الیسیتورهای غیرزیستی شامل فاکتورهای فیزیکی، شیمیایی و هورمونی می‌باشند. در مقابل الیسیتورهای زیستی موادی با منشا زیستی (شامل پلی‌ساکاریدها و پاتوژن‌ها) می‌باشد (Ahmed & Baig, 2014; Guru et al., 2022). پلیمر زیستی کیتوزان (CHT) یکی از مشتقان کیتین است که در پوسته بیرونی می‌گو، صدف، خرچنگ و همچنین دیوارهای سلولی قارچ وجود دارد (Chakraborty et al., 2020). یافته‌های متعددی در مورد استفاده از کیتوزان برای بهبود و ارتقاء رشد گیاه و بهبود ویژگی‌های مورفولوژیکی، متابولیتی و بیوشیمیایی در محصولات مختلف ثبت شده است (Ait Barka et al., 2004; Chakraborty et al., 2020; Nahar et al., 2012). تحقیقات نشان داده که کیتوزان به فعال کردن آنزیم‌های هیدرولیتیک مورد نیاز برای تجزیه و تجمع مواد غذایی ذخیره شده از جمله نشاسته و پروتئین کمک می‌کند. به عنوان مثال، صفات مورفولوژیکی مانند رشد ساقه، تعداد گره در ریزنمونه، تعداد برگ، رشد ریشه، وزن تر و غیره در هنگام تیمار کشت با کیتوزان در گیاه *Stevia rebaudiana* به طور قابل

توجهی افزایش یافت (Bayraktar et al., 2016). هدف از این بررسی، ارزیابی متابولیت‌های ثانویه، ویژگی‌های مورفو‌فیزیولوژیکی و بیوشیمیایی گیاه همیشه بهار تحت تأثیر کیتوزان در کشت درون شیشه‌ای می‌باشد.

مواد و روش‌ها

تأثیر روش‌های ضدغونی و پوشش بذر بر جوانهزنی و آلدگی بذور: پس از تهیه بذور گیاه همیشه بهار از شرکت پاکان بذر اصفهان، تأثیر روش‌های مختلف ضدغونی و پوشش بذر بر صفات درصد جوانهزنی و آلدگی بذور گیاه همیشه بهار آزمون شد. بدین منظور آزمایشی به صورت فاکتوریل در قالب طرح کاملاً تصادفی با دو فاکتور و ۴ تکرار و ۵ بذر در هر تکرار انجام شد. فاکتور اول شامل روش‌های مختلف ضدغونی در ۳ سطح و فاکتور دوم شامل پوشش بذر در دو سطح (با پوسته و بدون پوسته) بود. روش‌های ضدغونی مختلف و نوع پوشش بذر در جدول ۱ نامگذاری شده‌اند.

جدول ۱. نام گذاری روش‌های ضدغونی مختلف، نوع پوشش بذر و کد گذاری آن‌ها

Table 1. Naming different sterilization methods, types of seed coating, and their coding

روش ضدغونی/نوع پوشش بذر	کد
Sterilization method/seed coating	Code
خیساندن در آب به مدت دو ساعت، قرار دادن در الکل ۷۰ درصد به مدت ۳۰ ثانیه، قرار دادن در هیپوکلریت سدیم ۱٪ به مدت ۱۵ دقیقه، سه بار شستشو با آب مقطر استریل و هر بار ۱۰ دقیقه	S ₁
Soaking in water for two hours, immersing in 70% alcohol for 30 seconds, placing in 1% sodium hypochlorite for 15 minutes, washing three times with sterile distilled water, each time for 10 minutes.	
خیساندن در آب به مدت دو ساعت، قرار دادن در قارچ کش بنومیل ۱۰ درصد به مدت ۵ دقیقه، قرار دادن در الکل ۷۰ درصد به مدت ۳۰ ثانیه، قرار دادن در هیپوکلریت سدیم ۱٪ به مدت ۱۵ دقیقه، سه بار شستشو با آب مقطر استریل و هر بار ۱۰ دقیقه	S ₂
Soaking in water for two hours, immersing in 10% benomyl fungicide for 5 minutes, immersing in 70% alcohol for 30 seconds, placing in 1% sodium hypochlorite for 15 minutes, washing three times with sterile distilled water, each time for 10 minutes.	
خیساندن در آب به مدت دو ساعت، اتانول ۷۰ درصد به مدت ۳۰ ثانیه، قرار دادن در هیپوکلریت سدیم ۱٪ به مدت ۱۵ دقیقه، کلرید جیوه ۰/۱ درصد به مدت ۵ دقیقه و در نهایت سه بار شستشو با آب مقطر استریل و هر بار ۱۰ دقیقه	S ₅
Soaking in water for two hours, immersing in 70% ethanol for 30 seconds, placing in 1% sodium hypochlorite for 15 minutes, immersing in 0.1% mercuric chloride for 5 minutes, and finally washing three times with sterile distilled water, each time for 10 minutes.	
بذور بدون پوشش	C ₁
بذور با پوشش	C ₂

الیسیتاسیون با کیتوزان: این آزمایش در قالب طرح کاملاً تصادفی با ۴ تیمار و ۳ تکرار و ۵ بذر در هر تکرار انجام شد.

تیمارها شامل غلظت‌های صفر (شاهد)، ۲۵، ۵۰ و ۷۵ میلی‌گرم در لیتر الیسیتور کیتوزان بود. پودر کیتوزان ابتدا در اسید استیک ۲٪ حل شد و سپس غلظت‌های مدنظر از آن تهیه شد. سپس محیط کشت MS (Murashige & Skoog, 1962) حاوی غلظت‌های مختلف از الیسیتور در دستگاه اتوکلاو به مدت ۲۰ دقیقه در دمای ۱۲۱ درجه سانتی‌گراد و فشار ۱/۲ بار ضدغونی شد. پس از پایین آمدن دمای محیط کشت در زیر هود لامینار درون ظروف شیشه‌ای از قبیل اتوکلاو شده پخش و پس از سرد شدن کامل محیط کشت درب آن‌ها بسته و آماده کشت گردید. نمونه‌های کشت شده سپس در اتاق کشت درون شیشه‌ای در شرایط ۱۶ ساعت روشنایی و ۸ ساعت تاریکی و دمای 2 ± 25 درجه سانتی‌گراد قرار داده شد.

بررسی تاثیر الیسیتور روی پارامترهای مورفولوژیکی: پس از حدود یک ماه پارامترهای مورفولوژیکی زیر مورد بررسی قرار گرفت.

ارتفاع گیاهچه: برای اندازه‌گیری این صفت از کولیس استفاده شد.

طول ساقه: برای اندازه‌گیری این صفت از کولیس استفاده شد.

تعداد و طول ریشه: برای اندازه‌گیری این صفات به ترتیب از روش شمارش دستی و کولیس استفاده شد.

تعداد و عرض برگ: برای اندازه‌گیری این صفات به ترتیب از روش شمارش دستی و کولیس استفاده شد.

وزن ترازو: برای اندازه‌گیری این صفت از ترازو استفاده شد.

بررسی تاثیر الیسیتور روی میزان کاروتینوئید و کلروفیل (کلروفیل a و b): کلروفیل a و b و کاروتینوئید مطابق با روش Lichtenthaler (1987) اندازه‌گیری شدند. مقدار ۲۰۰ میلی‌گرم از بافت برگ گیاه هدف با ۱۵ میلی‌لیتر استون $663/20 - 646/80$ (حجمی/حجمی) برای استخراج رنگدانه‌های فتوستنتزی مخلوط گردید. برای هر نمونه، میزان جذب در طول موج 470 nm و 470 nm با سه تکرار تکنیکال با استفاده از دستگاه الیزا ریدر اندازه‌گیری شد. غلظت هر گروه از ترکیبات مطابق با معادلات زیر محاسبه شد و به صورت میلی‌گرم در گرم وزن ترازو اضافه شد.

$$\text{Chl a } (\text{mg g}^{-1}) = (12.25 \times A_{663.2}) - (2.79 \times A_{646.8})$$

$$\text{Chl b } (\text{mg g}^{-1}) = (21.51 \times A_{646.8}) - (5.1 \times A_{663.2})$$

$$\text{Chl T } (\text{mg g}^{-1}) = \text{Chl a} + \text{Chl b}$$

$$\text{Car } (\text{mg g}^{-1}) = [(1000 \times A_{470}) - (1.8 \times \text{Chl A}) - (85.02 \times \text{Chl b})] \div 198$$

بررسی تاثیر الیسیتور روی میزان فتل کل: محتوای فتل کل بر اساس روش Soland & Laima (1999)

اندازه‌گیری شد. میزان ۱۰۰ میلی‌گرم از بافت گیاه در پنج میلی‌لیتر اتانول ۹۵٪ (حجمی/حجمی) مخلوط گردید و به مدت ۲۴ ساعت در تاریکی در دمای ۲۵ درجه سانتی‌گراد نگهداری شد. سپس یک میلی‌لیتر عصاره با سه میلی‌لیتر آب مقطر، یک میلی‌لیتر اتانول ۹۵٪، یک میلی‌لیتر کربنات سدیم ۵٪ و ۵/۰ میلی‌لیتر معرف فولین-سیوکالتو (مرک) مخلوط شد. بعد از یک ساعت، جذب هر نمونه

در طول موج ۷۳۵ نانومتر با استفاده از اسپکتروفوتومتر اندازه‌گیری شد. اسید گالیک (مرک) برای ساخت نمودار استاندارد استفاده شد. نتایج به صورت میلی‌گرم اسید گالیک در گرم وزن تر گزارش شد.

بررسی تاثیر الیسیتور روی میزان فلاونوئید: محتوای فلاونوئید کل با استفاده از روش رنگ‌سنگی کلرید آلومنیوم (AlCl₃) محاسبه شد (Lin & Tang, 2007). مخلوط واکنش (حجم کلی ۱۰ میلی‌لیتر) شامل یک میلی‌لیتر نمونه از عصاره تهیه شده یا استاندارد همراه با ۴ میلی‌لیتر آب مقطر و ۰/۳ میلی‌لیتر NaNO₂ (وزنی/حجمی) ۵٪ بود. بعد از پنج و یک دقیقه به ترتیب ۰/۳ میلی‌لیتر AlCl₃ و دو میلی‌لیتر NaOH یک مولار اضافه شد. سپس ۲/۴ میلی‌لیتر آب مقطر اضافه شد و مخلوط واکنش تکان داده شد. رنگ صورتی حاصل با استفاده از اسپکتروفوتومتر در طول موج ۵۱۰ نانومتر قرائت شد و نتایج با به شکل میلی‌گرم کوئرستین در وزن تر نمونه بیان شد.

بررسی تاثیر الیسیتور روی میزان فعالیت آنتی‌اکسیدانی: فعالیت مهار رادیکال DPPH مطابق با روش Hatano et al., (1988) اندازه‌گیری شد. مخلوط واکنش (حجم نهایی سه میلی‌لیتر) شامل ۱/۰ میلی‌لیتر عصاره، ۵/۰ میلی‌لیتر بافر استیک اسید ۵/۰ مولار (pH = ۵/۵)، یک میلی‌لیتر DPPH ۰/۲ میلی‌مولار در اتانول و ۱/۴ DPPH اتانول ۵۰٪ (حجمی/حجمی) که بهشت با نمونه‌ها مختلف تکان داده شد. بعد از انکوبه کردن در دمای اتاق به مدت ۳۰ دقیقه، DPPH باقیمانده با اندازه‌گیری جذب در طول موج ۵۱۷ نانومتر اندازه‌گیری شد و فعالیت مهار این رادیکال برای هر نمونه به شکل نسبت کاهش در جذب فعالیت مهار رادیکال DPPH (%) به جذب محلول کنترل (۱۰۰٪) در غیاب نمونه بیان شد. در این معادله A میزان جذب کنترل (اتanol ۵۰٪ و بدون DPPH) و B میزان جذب تصحیح شده مخلوط واکنش نمونه (اتanol ۵۰٪ و با DPPH) می‌باشد.

$$\text{DPPH} = \frac{A-B}{A} \times 100$$

بررسی تاثیر الیسیتور روی میزان آنتوسیانین: آنتوسیانین کل با استفاده از روش متانول اسیدی شده (متانول: HCl با نسبت ۱:۹۹ حجمی/حجمی) و بر اساس روش تغییر یافته Wagner (1979) تعیین شد. بعد از همگن‌سازی ۵۰ میلی‌گرم بافت برگی در ۵ میلی‌لیتر اتانول اسیدی شده، این محلول در دمای ۲۵ درجه سانتی‌گراد به مدت ۲۴ ساعت در تاریکی قرار داده شد. عصاره سپس در g ۴۰۰۰ به مدت ۱۰ دقیقه در دمای ۲۵ درجه سانتی‌گراد سانتریفیوژ شد. جذب هر سوپرناتانت در طول موج ۵۵۰ نانومتر با استفاده از دستگاه اسپکتروفوتومتر اندازه‌گیری شد. ضریب خاموشی mol^{-۱} cm^۲ ۳۳۰۰۰ برای محاسبه آنتوسیانین کل استفاده شد و به شکل میکرومول در گرم وزن تر بیان شد. در معادله زیر A برابر با جذب، b عرض کووت و غلظت مورنضر می‌باشد.

$$A = \epsilon b c$$

بررسی تاثیر الیسیتور روی محتوای مالون دی‌آلدهید: محتوای مالون دی‌آلدهید (MDA)، به عنوان یک شاخص از پراکسیداسیون لیپیدی، مطابق با روش Heath & Packer (1968) تعیین شد. پس از همگن‌سازی ۰/۲ گرم نمونه با ۵ میلی‌لیتر تری کلرواستیک اسید ۱۰/۰٪، مخلوط واکنش در g ۱۰۰۰۰ به مدت ۵ دقیقه سانتریفیوژ شد. سپس ۴ میلی‌لیتر تری کلرواستیک اسید

۲۰٪ حاوی تیوباریتوريک اسید ۵٪ و یک میلی لیتر از سوپرناتانت با همديگر مخلوط شد. مخلوط در دمای ۹۵ درجه سانتي گراد بهمدت ۳۰ دقيقه انکوبه شد و سپس به سرعت روی يخ خنک شد. مخلوط در دمای ۴ درجه سانتي گراد بهمدت ۱۰ دقيقه سانتريفيوژ شد و جذب سوگرناتانت در طول موج ۵۳۲ نانومتر با استفاده از اسپکتروفوتومتر اندازه گيری شد. محتواي MDA با ضريب خاموشی $155 \text{ mM}^{-1} \text{ cm}^{-1}$ محاسبه و به صورت ميكرو گرم در گرم وزن تر بيان شد.

بررسی تاثير اليسيتور روی میزان پرولین: میزان پرولین با استفاده از واکنش نین هيدرين و بر اساس روش Bates et al. (1973) تعیین شد. در اين روش، عصاره های گیاهی به دست آمده از مخلوط کردن ۱۰۰ میلی گرم بافت گیاهی با ۱۰ میلی لیتر سولفوساليسيليك اسید از کاغذ واتمن شماره ۲ عبور داده شد. بعد از عصاره گيری، دو میلی لیتر معرف نین هيدرين و دو میلی لیتر گلاسيال اسید به دو میلی لیتر عصاره فیلتر شده اضافه شد. بعد از حرارت دادن در دمای ۱۰۰ درجه سانتي گراد بهمدت یک ساعت و سپس قرار دادن روی يخ، چهار میلی لیتر تولوئن به مخلوط واکنش اضافه شد و میزان جذب آنها در طول موج ۵۲۰ نانومتر با استفاده از دستگاه اسپکتروفوتومتر اندازه گيری شد. محتواي پرولین با استفاده از L-پرولین به عنوان منحنی استاندارد تعیین شد.

بررسی تاثير اليسيتور روی فعالیت آنزیم کاتالاز: فعالیت کاتالاز (CAT) با توجه به تجزیه پراکسید هیدروژن (H_2O_2) (ضريب خاموشی $240 \text{ nm}^{-1} \text{ cm}^{-1}$) با استفاده از روش توصیف شده توسط Aebi et al. (1974) در طول موج 240 nm انجام شد. مخلوط واکنش شامل ۲ میلی لیتر بافر فسفات سدیم ۲۵ میلی مولا، ۵۰ میکرو لیتر عصاره آنزیمی و ۱۰۰ میکرو لیتر سویسترا (H_2O_2) (حجمی / حجمی) بود. فعالیت آنزیم به صورت میکرومول بر دقیقه بر میلی گرم پروتئین بيان شد.

بررسی تاثير اليسيتور روی فعالیت آنزیم پراکسیداز: فعالیت آنزیم پراکسیداز (POD) با به کارگیری روش Lagrimini & Rothstein (1987) با کمی تغییرات اندازه گيری شد. مخلوط واکنش با کاربرد ۴۰ میکرو لیتر بافر فسفات پتاسیم (۵۰ میلی مولا، pH=۷)، ۲۰ میکرو لیتر گایاکول (۱۰۰ میلی مولا، 10^{\times})، ۲۰ میکرو لیتر عصاره، ۱۰۰ میکرو لیتر آب دوبار تقطیر و ۲۰ میکرو لیتر H_2O_2 (۲۷/۵ میلی مولا، 10^{\times}) آماده گردید. بعد از ۲۰ ثانیه از دوره انکوبه کردن، میزان جذب در طول موج ۴۷۰ نانومتر اندازه گيری شد و فعالیت آنزیمی با استفاده از فرمول A-ELC = $A - E - C$ ، ضريب خاموشی $27/5 \text{ nm}^{-1} \text{ cm}^{-1}$ ، غلظت آنزیم، FW و وزن تر نمونه را نشان می دهد) به دست آمد.

تجزیه و تحلیل داده های آماری: تجزیه و تحلیل داده های آماری در نهايیت با استفاده از نرم افزارهای SAS و Rسم نمودارها با استفاده از Excel انجام شد.

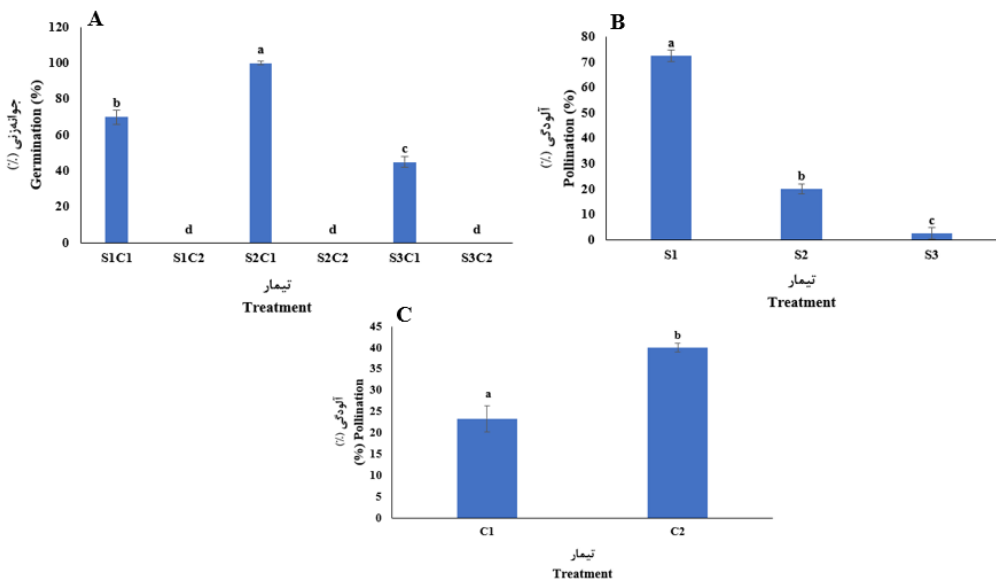
نتایج و بحث

تأثیر روش های مختلف ضد عفونی و پوشش بذر بر درصد جوانه زنی بذور گیاه همیشه بهار: نتایج مقایسه میانگین اثر متقابل روش ضد عفونی و پوشش بذر نشان داد که تیمار S₂C₁ (روش دوم ضد عفونی، قرار دادن در قارچ کش بنومیل

۱۰ درصد بهمدت ۵ دقیقه، قرار دادن در الکل ۷۰ درصد بهمدت ۳۰ ثانیه، قرار دادن در هیپوکلریت سدیم ۱٪ بهمدت ۱۵ دقیقه، همراه با تیمار بدون پوشش بذر) بیشترین میزان درصد جوانهزنی (۱۰۰٪) را در مقایسه با دیگر تیمارها داشتند (شکل ۱-A). در واقع پوشش بذر بهعنوان مانع برای جوانهزنی در این گیاه در کشت درون شیشه‌ای عمل می‌کند (شکل ۲).

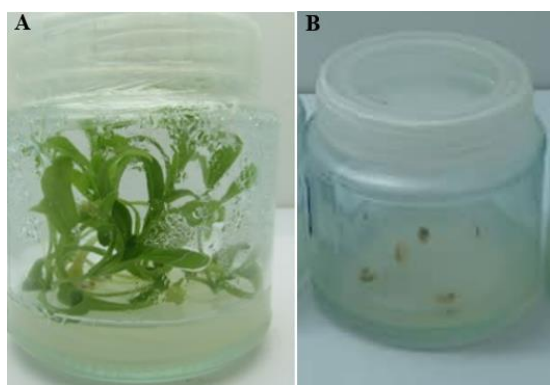
تأثیر روش‌های مختلف ضدغونی و پوشش بذر بر درصد آلدگی بذور گیاه همیشه بهار: نتایج مقایسه میانگین اثر ساده روش ضدغونی نشان داد که بیشترین میزان درصد آلدگی (۱۰۰٪) مربوط به تیمار اول ضدغونی (S₁) و کمترین درصد آلدگی (۲/۵٪) مربوط به تیمار سوم ضدغونی (S₂) می‌باشد (شکل ۱-B). در این تحقیق در روش دوم ضدغونی (S₂) از ترکیب قارچ‌کش بنومیل ۵٪ بهمدت ۵ دقیقه استفاده شده که با کاربرد این مواد آلدگی‌های قارچی کاملاً حذف شد. استفاده از قارچ‌کش در کشت درون شیشه‌ای برای ضدغونی ریزنمونه‌های گیاهی بهعنوان یکی از روش‌های کنترل آلدگی‌ها استفاده می‌شود. این ترکیب می‌تواند برخی قارچ‌هایی که بافت گیاهی را تحت تاثیر قرار می‌دهند را مهار و کنترل کنند (Leelavathy & Sankar, 2016). نشان داده شده است که کاربرد قارچ‌کش‌ها از جمله بنومیل می‌تواند به کنترل آلدگی در شرایط کشت درون شیشه‌ای کمک نماید (Ahmadi et al., 2012; Smith, 2013) و کمترین (۴۳٪) میزان درصد آلدگی بهترتبی در استفاده از تیمارهای با پوشش و بدون پوشش بذور بوده است (شکل ۱-C).

بررسی تاثیر کیتوزان بر ویژگی‌های مورفولوژیکی گیاه همیشه بهار-ارتفاع گیاهچه: نتایج مقایسه میانگین نشان دهنده افزایش معنی‌دار این صفت در همه غلظت‌های کیتوزان در مقایسه با نمونه شاهد است (شکل ۳-A). بیشترین و کمترین ارتفاع گیاهچه بهترتبی به تیمار ۵۰ میلی‌گرم در لیتر کیتوزان و شاهد اختصاص داشت. همسو با نتایج این تحقیق Rahman et al. (2018) نشان دادند که ارتفاع گیاه با کاربرد کیتوزان افزایش می‌یابد. همچنین (Algam et al., 2010) نشان دادند که پس از ۱ تا ۲ ماه، ارتفاع گیاه، وزن تر و خشک اندام هوایی گیاهان تیمار شده با کیتوزان بیشتر از شاهد بود. گزارش‌های دیگری نیز نشان داده که با کاربرد کیتوزان ارتفاع گیاه Iris pseudacorus در مقایسه با شاهد افزایش می‌یابد (Van et al., 2013; Hir et al., 2022). اثر کیتوزان (۱۲۰ میلی‌گرم در لیتر) بر رشد گیاهان بدليل افزایش جذب آب و عناصر ضروری و کاهش تجمع رادیکال‌های آزاد اکسیژن با افزایش فعالیت آنزیم‌های آنتی‌اکسیدانی است. دلیل افزایش ارتفاع گیاه به‌دلیل اعمال کیتوزان، تأثیر آن در تحریک فرآیندهای فیزیولوژیکی، افزایش تثبیت CO₂ و بهبود رشد رویشی گیاه است (Hir et al., 2022). در تحقیقی Forouzandeh et al. (2019) دریافتند که اعمال تیمار کیتوزان (۲۰۰ میلی‌گرم در لیتر) منجر به افزایش ارتفاع گیاه در مقایسه با شاهد شد. ارتفاع بوته و تعداد ساقه و برگ به‌دلیل تیمار کیتوزان روی گیاه Freesia alba نیز افزایش یافت. کیتوزان ممکن است با افزایش محتوای کلروفیل، ناشی از افزایش جذب مواد مغذی، باعث رشد شود (Salachna & Zawadzińska, 2014).

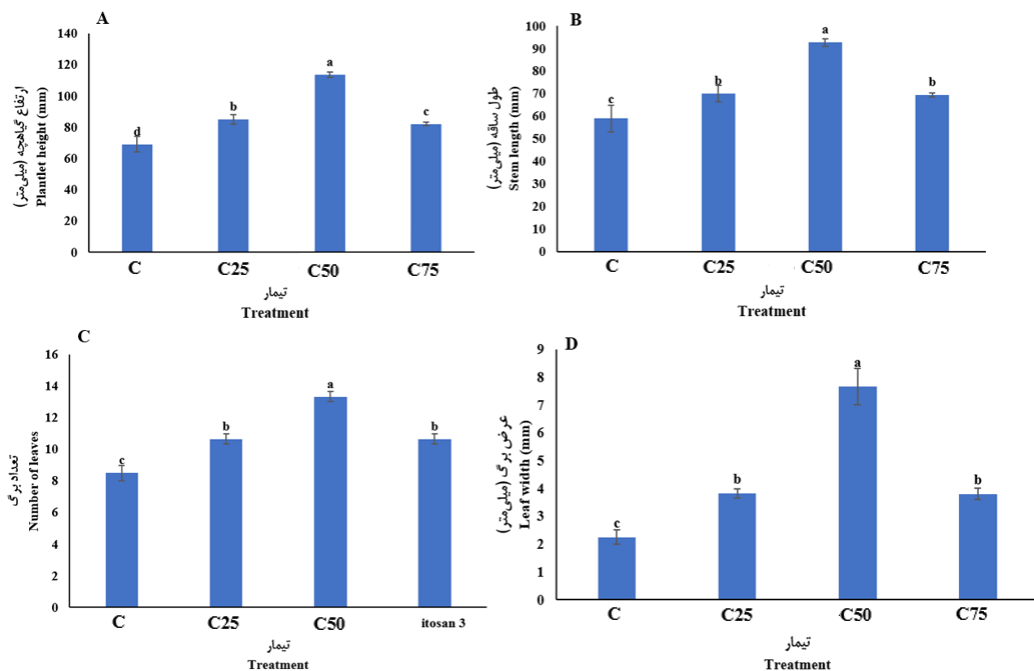


شکل ۱. نتایج مقایسه میانگین اثر متقابل روش ضدغفونی و پوشش بذر بر درصد جوانهزنی بذور گیاه همیشه بهار (A)، نتایج مقایسه میانگین اثر ساده روش‌های مختلف ضدغفونی بر درصد آلودگی (B) و نتایج مقایسه میانگین اثر ساده پوشش بذر بر درصد آلودگی بذور گیاه همیشه بهار (C): S₁ روش اول، S₂ روش دوم، S₃ روش سوم ضدغفونی، C₁ و C₂ (بذور با و بدون پوشش). نوار خطأ نشان‌دهنده خطای استاندارد است

Figure 1. The results of the comparison between the average effects of sterilization methods and seed coatings on the germination percentage of *Calendula officinalis* L. seeds (A), the simple effect of different disinfection methods on the percentage of contamination (B) and the simple effect of seed coating on the percentage of contamination of seeds of *Calendula officinalis* L. plant (C): S₁, first method, S₂, second method, S₃, third method of sterilization, C₁ and C₂ (seeds with and without coating). The error bar indicates the standard error



شکل ۲. کشت بذور گیاه همیشه بهار روی محیط کشت MS: بذور بدون پوشش (A)، بذور با پوشش (B)



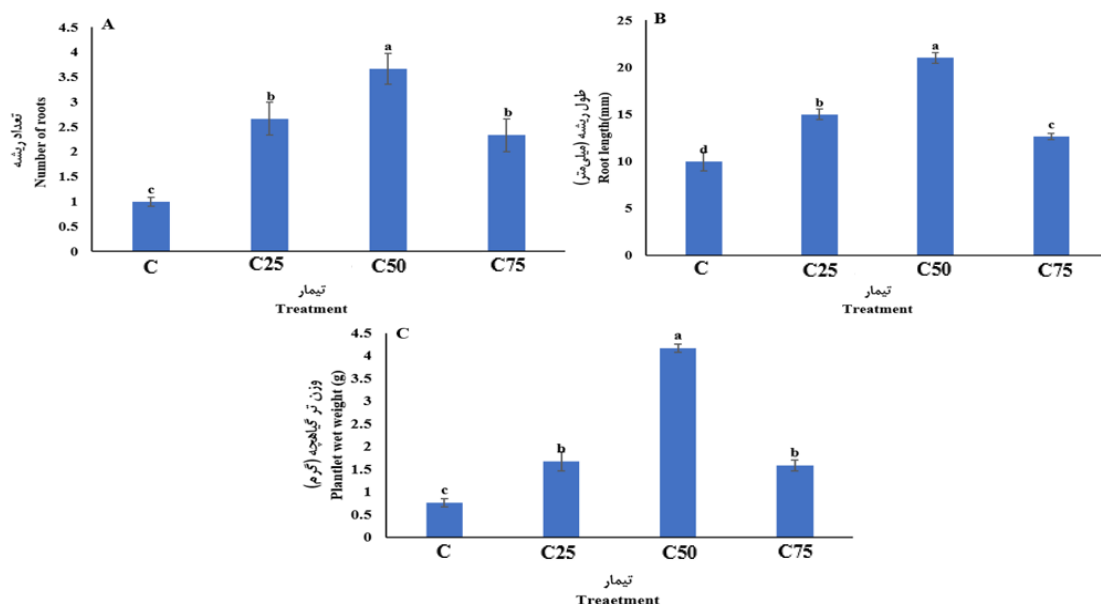
شکل ۳. نتایج مقایسه میانگین تاثیر غلظت‌های مختلف کیتوzan بر ارتفاع گیاهچه (A)، طول ساقه (B)، عدد (C) و عرض برگ (D) همیشه بهار: C شاهد، C₂₅، C₅₀ و C₇₅ به ترتیب غلظت ۲۵، ۵۰ و ۷۵ میلی‌گرم در لیتر کیتوzan. میانگین حروف مشابه اختلاف معنی‌داری در سطح احتمال پنج درصد ندارند. نوار خطأ نشان‌دهنده خطای استاندارد است

Figure 3. The results of the mean comparison of the effects of different chitosan concentrations on seedling height (A), stem length (B), number (C) and leaf width (D) of *Calendula officinalis* L.: C, control C₅₀, C₇₅ and C₇₅ respectively at concentrations of 25, 50 and 75 mg per liter of chitosan. The average of similar letters does not have a significant difference at the five percent probability level. The error bar indicates the standard error

طول ساقه: نتایج مقایسه میانگین نشان‌دهنده افزایش معنی‌دار این صفت در همه غلظت‌های کیتوzan در مقایسه با نمونه شاهد است (شکل ۳-۳). بیشترین و کمترین طول ساقه به ترتیب به تیمار ۵۰ میلی‌گرم در لیتر کیتوzan و شاهد اختصاص داشت. اثر مشبت کیتوzan بر رشد ساقه در شرایط درون شیشه‌ای همسو با نتایج این تحقیق در گیاهان دیگر آشکار شده است (Nahar et al., 2012; Bayraktar et al., 2016; Chourykaew & Sreenamkhum, 2018 افزایش لیگنینی شدن دیواره سلولی و بیوستتر لیگنین در گیاهان است که در نتیجه با رشد بهتر ساقه و افزایش تجمع زیست توده همراه است (Bayraktar et al., 2016; Guru et al., 2022).

تعداد برگ: نتایج مقایسه میانگین نشان دهنده افزایش معنی دار این صفت در همه غلظت های کیتوزان در مقایسه با نمونه شاهد است (شکل C-۳). بیشترین و کمترین تعداد برگ به ترتیب به تیمار ۵۰ میلی گرم در لیتر کیتوزان و شاهد اختصاص داشت. همسو با نتایج این تحقیق مطالعات دیگر نیز افزایش تعداد برگ را با اعمال تیمار کیتوزان در گیاهان *Ipomoea purpurea* Coelho &) *Cattleya maxima* (Bayraktar et al., 2016) *Stevia rebaudiana* (Acemi et al., 2018) (Romano, 2022; Paris et al., 2019) نشان داده اند.

عرض برگ: نتایج مقایسه میانگین نشان دهنده افزایش معنی دار این صفت در همه غلظت های کیتوزان در مقایسه با نمونه شاهد است (شکل D-۳). بیشترین و کمترین عرض برگ به ترتیب به تیمار ۵۰ میلی گرم در لیتر کیتوزان و شاهد اختصاص داشت. در واقع افزودن کیتوزان به محیط کشت، عرض برگ را در این آزمایش افزایش داد. افزایش عرض برگ روی محیط کشت حاوی کیتوزان در گیاه *Cattleya maxima* نشان داده است (Paris et al., 2019). این نتایج در آزمایشات دیگر روی گیاه *Rhynchostylis gigantea* (Obsuwan et al., 2010) هم گزارش شده که مطابق با نتایج تحقیق حاضر است.



شکل ۴. نتایج مقایسه میانگین تاثیر غلظت های مختلف کیتوزان بر تعداد ریشه (A)، طول ریشه (B) و وزن تر گیاهچه (C) همیشه بهار: C شاهد، C₂₅، C₅₀ و C₇₅ به ترتیب غلظت ۲۵، ۵۰ و ۷۵ میلی گرم در لیتر کیتوزان. میانگین حروف مشابه اختلاف معنی داری در سطح احتمال پنج درصد ندارند. نوار خطای نشان دهنده خطای استاندارد است

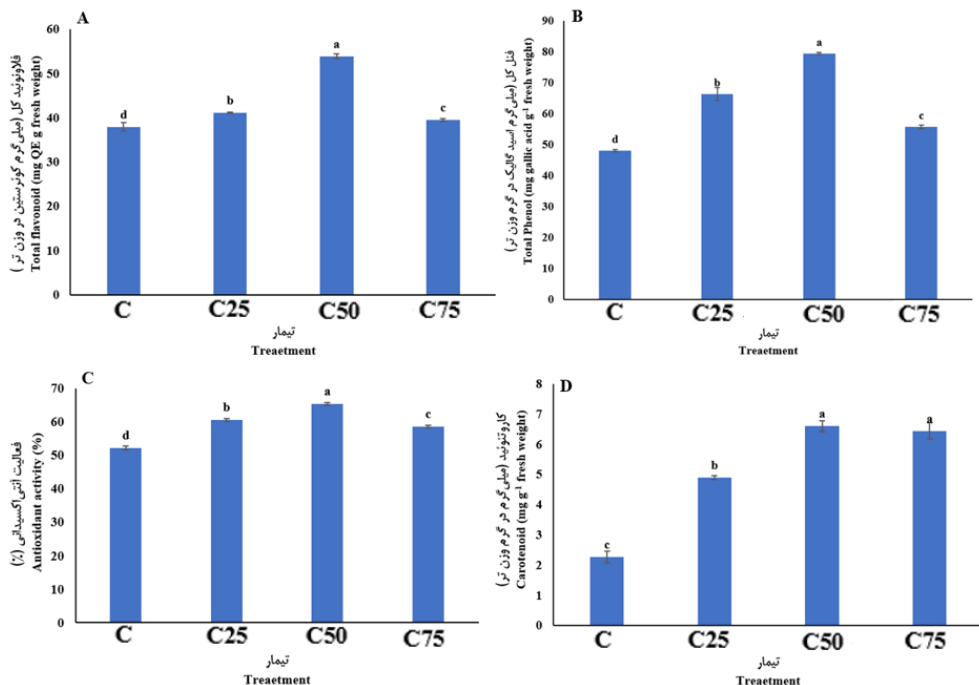
Figure 4. The results of the mean comparison of the effects of different chitosan concentrations on root number (A), root length (B) and seedling fresh weight (C) of *Calendula officinalis* L.: C, control C₅₀, C₇₅ and C₇₅ respectively at concentrations of 25, 50 and 75 mg/liter, respectively. The average of similar letters does not have a significant difference at the five percent probability level. Error bar indicates standard error

تعداد و طول ریشه: نتایج مقایسه میانگین نشان دهنده افزایش معنی‌دار این صفات در همه غلظت‌های کیتوزان در مقایسه با نمونه شاهد است (شکل ۴-A). بیشترین و کمترین تعداد شکل ۴ (A-۴) و طول ریشه (شکل ۴-B) به ترتیب به تیمار ۵۰ میلی‌گرم در لیتر کیتوزان و شاهد اختصاص داشت. افزایش پارامترهای ریشه از جمله تعداد و طول ریشه به دلیل افروزن کیتوزان به محیط کشت در گیاهان دیگر از جمله Obsuwan (*Rhynchostylis gigantea*) (Tantasawat et al., 2010), Dendrobium (Paris et al., 2019) و *Cattleya maxima* (et al., 2010) مشاهده شده است. کیتوزان ممکن است رشد ریشه را از طریق مسیرهای سیگنالی که منجر به بیوستتر اکسیجن می‌شود، تنظیم کند و تقسیم سلول‌های ریشه را تقویت کند (Chakraborty et al., 2020; Malekpoor et al., 2017).

وزن تر گیاهچه: نتایج مقایسه میانگین نشان دهنده افزایش معنی‌دار این صفت در همه غلظت‌های کیتوزان در مقایسه با نمونه شاهد است (شکل ۴-C). بیشترین و کمترین وزن تر گیاهچه به ترتیب به تیمار ۵۰ میلی‌گرم در لیتر کیتوزان (۴/۱۶ گرم) و شاهد (۰/۷۶ گرم) اختصاص داشت. نورافکن در سال ۲۰۱۹ نشان داد که با اعمال تیمار کیتوزان، وزن تر گیاه در مقایسه با شاهد افزایش می‌یابد (Nourafcan, 2019). همچنین Veraplakorn et al. (2021) نشان دادند که تیمار کیتوزان می‌تواند منجر به افزایش وزن تر در گیاه شود. افزایش وزن تر در کشت‌های درون شیشه‌ای در گونه‌های مختلف گیاهی دیگر نیز با کاربرد کیتوزان گزارش شده است که این نتایج همگی در تطابق با نتایج این تحقیق در رابطه با بهبود رشد و افزایش وزن تر گیاه می‌باشد (Zhao et al., 2010; Bayraktar et al., 2016; Ahmad et al., 2019; Khan et al., 2019; Shah et al., 2021) افزایش وزن تر به دنبال کاربرد کیتوزان ناشی از توانایی آن در افزایش جذب آب و دسترسی مواد مغذی ضروری و انتقال بهتر این مواد در اندام‌های گیاه می‌باشد (Mahdavi et al., 2014).

بررسی تاثیر کیتوزان بر بهبود نسبی ویژگی‌های فیزیولوژیکی و متابولیتی گیاه همیشه بهار-فلاؤنوئید

کل: نتایج مقایسه میانگین نشان دهنده افزایش معنی‌دار این صفت در همه غلظت‌های کیتوزان در مقایسه با نمونه شاهد است (شکل ۴-B). بیشترین و کمترین فلاؤنوئید کل به ترتیب به تیمار ۵۰ میلی‌گرم در لیتر کیتوزان و شاهد اختصاص داشت. کیتوزان به طور قابل توجهی ژن‌های متعدد مرتبط با متابولیسم فلاؤنوئید را تنظیم کرد (Attaran Dowom et al., 2022). فعال‌سازی رونویسی ژن‌های چالکون سنتاز و فلاؤنوئید هیدروکسیلаз در کشت درون شیشه‌ای القا شده توسط کیتوزان یکی از دلایل افزایش تولید فلاونوئیدها می‌باشد (Guru et al., 2022; Jiao et al., 2018; Jami et al., 2018; Jiao et al., 2018; Isatis tinctoria L. Fagonia indica, Salvia leyiifolia گیاهان رازیانه، Forouzandeh et al., 2019; Khan et al., 2019 افزایش داده است.



شکل ۵. نتایج مقایسه میانگین تاثیر غلظتها م مختلف کیتوzan بر فلاونوئید (A)، فنل کل (B) فعالیت آنتیاکسیدانی (C) و کاروتونوئید (D) همیشه بهار: C شاهد، C₂₅، C₅₀ و C₇₅ به ترتیب غلظت ۲۵، ۵۰ و ۷۵ میلی گرم در لیتر کیتوzan. نوار خطأ نشان دهنده خطای استاندارد است

Figure 5. Comparison results of the average effect of different concentrations of chitosan on flavonoid (A), total phenol (B), antioxidant activity (C) and carotenoid (D) of *Calendula officinalis* L: C, control C₅₀, C₇₅ and C₇₅ respectively at concentrations of 25, 50 and 75 mg, respectively. per liter of chitosan. The error bar indicates the standard error

فنل کل: نتایج مقایسه میانگین نشان دهنده افزایش معنی دار این صفت در همه غلظتها کیتوzan در مقایسه با نمونه شاهد است (شکل ۵-B). بیشترین و کمترین فنل کل به ترتیب به تیمار ۵۰ میلی گرم در لیتر کیتوzan و شاهد اختصاص داشت. ترکیبات فنلی گیاهی بدلیل پتانسیل فوق العاده ای که در دفاع در برابر حملات بیماری زا دارند، به عنوان مولکول های سیگنال دهنده و تنظیم کننده فرآیندهای بیوشیمیایی حیاتی از جمله فعالیت آنتیاکسیدانی، یکی از مهمترین متابولیت های ثانویه هستند. نتایج این تحقیق همسو با نتایج Silva et al. (2020) می باشد که در آن پس از الیسیتیشن با کیتوzan افزایش میزان فنل، آنتوکسیانین و تانن در گیاه انگور انجام شده است. علاوه بر این، استفاده از کیتوzan به عنوان الیسیتور، فعالیت مسیر فنل آلانین آمونیاک لیاز را افزایش داد که به تجمع زیستی ترکیبات فنلی در کشت های درون شیشه ای گلنگ کمک کرد (Golkar et al., 2019). در *Carum copticum* نیز الیسیتیشن با کیتوzan منجر به افزایش محتوای فنل تحت شرایط کشت درون شیشه ای شد (Razavizadeh et al., 2020). در تحقیقی Khan et al. (2019) اثر کیتوzan را روی گیاه *Fagonia indica* بررسی کردند. آنها دریافتند که

کیتوزان، محتوای فنل کل را در این گیاه افزایش می‌دهد. در گزارشی (Forouzandeh et al. 2019) همچنین مشاهده کردند که با افزایش کیتوزان، محتوای فنل و فلاونوئید کل رازیانه افزایش یافت. نتایج تحقیق حاضر با تمامی این نتایج مطابقت داشت.

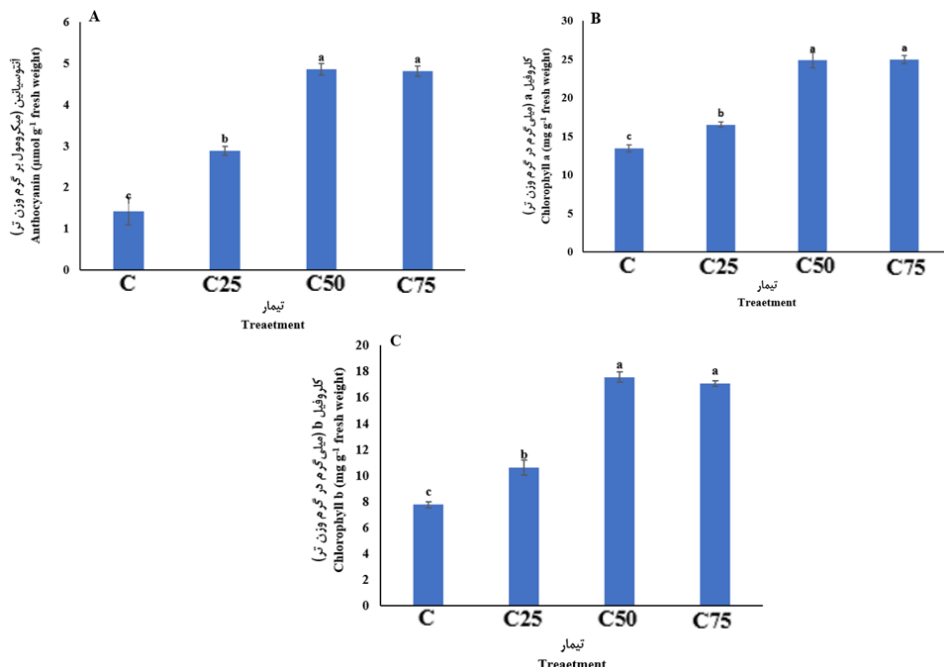
فعالیت آنتی اکسیدانی: نتایج مقایسه میانگین نشان دهنده افزایش معنی‌دار این صفت در همه غلظت‌های کیتوزان در مقایسه با نمونه شاهد است (شکل ۵). بیشترین و کمترین فعالیت آنتی اکسیدانی به ترتیب به تیمار ۵۰ میلی‌گرم در لیتر کیتوزان و شاهد اختصاص داشت. افزایش درصد فعالیت آنتی اکسیدانی به دنبال اعمال تیمار الیستیور کیتوزان به این دلیل است که فنول‌ها و فلاونوئیدها عمدتاً مسئول پتانسیل آنتی اکسیدانی گیاه هستند (Khan et al., 2020) و این افزایش در تحقیقات دیگر روی *Vitis* Cai et al., 2012; Jiao et al., 2018; (*Isatis tinctoria L.*, *Fagonia indica*, *vinifera*) هم مشاهده شده است (Khan et al., 2019; Shah et al., 2021). گیاهان با استفاده از مواد شیمیایی گیاهی که به عنوان آنتی اکسیدان عمل می‌کنند، رادیکال‌های آزاد تولید شده در فرآیندهای زیستی خود را خنثی کرده و تعادل سلولی را حفظ می‌کنند. از کلاس‌های اصلی این ترکیبات که به عنوان مولکول‌های مهار کننده رادیکال‌های آزاد عمل می‌کنند، ترکیبات فلی هستند. برای اندازه‌گیری فعالیت آنتی اکسیدانی، DPPH بررسی قرار می‌گیرد (Fazal et al., 2016; Khan et al., 2019).

کاروتونوئید: نتایج مقایسه میانگین نشان دهنده افزایش معنی‌دار این صفت در همه غلظت‌های کیتوزان در مقایسه با نمونه شاهد است (شکل ۵). بیشترین و کمترین میزان کاروتونوئید به ترتیب به تیمار ۵۰ میلی‌گرم در لیتر کیتوزان و شاهد اختصاص داشت. مشابه با تحقیق حاضر، گزارش‌هایی از تأثیر مثبت کیتوزان روی میزان کاروتونوئید با کاربرد کیتوزان در گیاهان دیگر نیز وجود دارد (Attaran Dowom et al., 2022; Dzung et al., 2011; Rahman et al., 2018; Santo Pereira et al., 2015). کاروتونوئیدها رنگدانه‌های تتراترپن‌وئیدی زرد تا قرمز نارنجی هستند که در برخی از باکتری‌ها و قارچ‌های غیر فتوستتری و در همه موجودات فتوستتری پخش می‌شوند. کاروتونوئیدها ترکیبات ارزشمندی هستند که عملکردهای زیادی در صنایع غذایی، آرایشی و بهداشتی و غذایی دارن. این رنگدانه‌ها از دیرباز به عنوان رنگ‌های خوارکی مورد استفاده قرار می‌گرفته‌اند و به دلیل خواص آنتی اکسیدانی قوی، طیف وسیعی از عملکردها را در مورد سلامت انسان از جمله پیشگیری از بیماری‌های مزمن مانند بیماری‌های قلبی عروقی و سرطان دارند (Silva da Rocha et al., 2015).

آنتوسیانین: نتایج مقایسه میانگین نشان دهنده افزایش معنی‌دار این صفت در همه غلظت‌های کیتوزان در مقایسه با نمونه شاهد است (شکل ۶). بیشترین و کمترین میزان آنتوسیانین به ترتیب به تیمار ۵۰ میلی‌گرم در لیتر کیتوزان و شاهد اختصاص داشت. تفاوت معنی‌داری بین غلظت ۵۰ و ۷۵ میلی‌گرم در لیتر مشاهده نشد. اثر مثبت کیتوزان روی محتوای آنتوسیانین در گزارشات دیگر هم گزارش شده است. به طور مثال محتوای آنتوسیانین با کاربرد کیتوزان در کشت درون شیشه‌ای گیاه *Vitis vinifera*،

Cai et al., 2012; Golkar et al., 2012 افزایش یافته است) *Carthamus tinctorius L.* .*Vaccinium corymbosum L.*

.(2019; Silva et al., 2020; Cola et al., 2024



شکل ۶. نتایج مقایسه میانگین تاثیر غلظت‌های مختلف کیتوzan بر آنتوسیانین (A)، کلروفیل a (B) و کلروفیل b (C) همیشه بهار: C شاهد، C₂₅، C₅₀ و C₇₅ به ترتیب غلظت ۲۵، ۵۰ و ۷۵ میلی‌گرم در لیتر کیتوzan. میانگین b حروف مشابه اختلاف معنی‌داری در سطح احتمال پنج درصد ندارند. نوار خطان نشان‌دهنده خطای استاندارد است

Figure 6. Comparison results of the average effect of different concentrations of chitosan on anthocyanin (A), chlorophyll a (B) and chlorophyll b (C) of *Calendula officinalis* L.: C, control C₅₀, C₇₅ and C₇₅ respectively with concentrations of 25, 50 and 75 mg per liter of chitosan, respectively. The average of similar letters does not have a significant difference at the five percent probability level. The error bar indicates the standard error

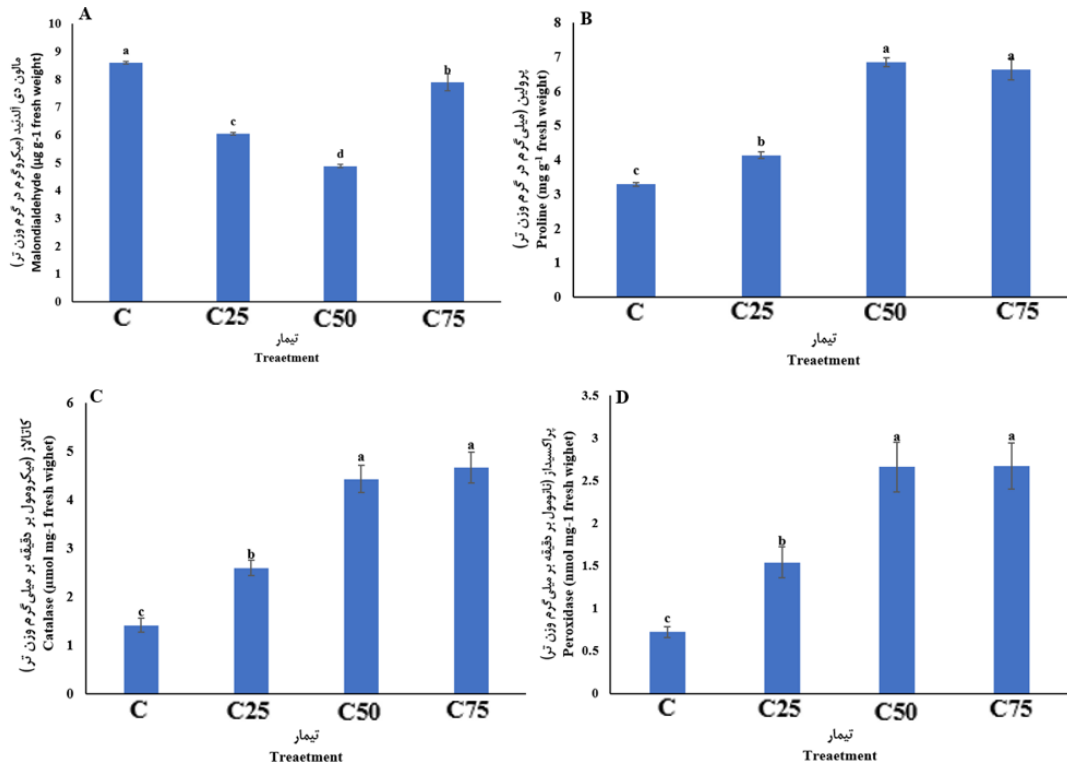
کلروفیل a و b: نتایج مقایسه میانگین نشان‌دهنده افزایش معنی‌دار این صفات در همه غلظت‌های کیتوzan در مقایسه با نمونه شاهد است (شکل ۶-B). بیشترین و کمترین کلروفیل a (شکل ۶-B) و b (شکل ۶-C) به ترتیب به تیمار ۵۰ میلی‌گرم در لیتر کیتوzan و شاهد اختصاص داشت. تفاوت معنی‌داری بین غلظت ۵۰ و ۷۵ میلی‌گرم در لیتر مشاهده نشد. گزارشات نشان داده که کیتوzan به طور قابل توجهی خواص بیوفیزیکی مانند دریافت مواد مغذی و نرخ خالص فتوستتر را افزایش دادند که به ارتقای رشد نهال قهقهه کمک کرد. با بهبود شاخص فتوستتر با افزایش عملکرد روزنه و محتوای کلروفیل، عملکرد محصول را به طور قابل توجهی

افزایش داد (Dzung et al., 2002). در تحقیقی اثر کیتوzan بر گیاه *Iris seudacorus* بررسی شد. محققان گزارش کردند که کیتوzan مقدار رنگدانه‌های کلروفیل را افزایش می‌دهد (Hir et al., 2022). این افزایش محتوای کلروفیل در گزارشات دیگر هم نشان داده شده است (Coelho & Romano, 2022; Santo Pereira et al., 2017; Zhang et al., 2017; Zou et al., 2015). این نتایج با مطالعه حاضر در مورد افزایش میزان کلروفیل گیاه با افزایش غلظت کیتوzan مطابقت دارد. بهنظر می‌رسد کیتوzan به عنوان یک الیسیتور، بیان ژن‌ها را در مسیر بیوسنتر کلروفیل فعال و افزایش داده و در نتیجه میزان کلروفیل را افزایش می‌دهد. بهنظر می‌رسد که کیتوzan بیان ژن‌های دخیل در سنتز کلروفیل را با افزایش سطح سیتوکینین داخلی و افزایش دسترسی به ترکیبات آمینه آزاد آزاد شده از کیتوzan تحریک می‌کند. همچنین، محلول پاشی کیتوzan (۹۰ میلی‌گرم در لیتر) باعث افزایش فعالیت آسکوربات پراکسیداز می‌شود که ROS را در تیلاکوئیدها از بین می‌برد و تجزیه رنگدانه‌های فتوستتری را کاهش می‌دهد. علاوه بر این، ممکن است با سرکوب اتیلن (محرك کلروفیلز) و افزایش فعالیت کربوکسیلاز رویسکو، کارایی فتوستتری را افزایش دهنده باشد (Attaran Dowom et al., 2022).

بررسی تاثیر کیتوzan بر بهبود ویژگی‌های بیوشیمیایی گیاه همیشه بهار–مالون دی‌آلدهید: در این مطالعه استفاده از کیتوzan منجر به افزایش پایداری غشا و کاهش پراکسیداسیون لیپیدی شد. نتایج مقایسه میانگین نشان دهنده کاهش معنی‌دار این صفت در همه غلظت‌های کیتوzan در مقایسه با نمونه شاهد بود (شکل ۷-A). بیشترین و کمترین میزان مالون دی‌آلدهید به ترتیب به تیمار شاهد و ۵۰ میلی‌گرم در لیتر کیتوzan اختصاص داشت. آسیب به غشای سلولی عمدها از طریق پراکسیداسیون لیپیدی غشایی ناشی از ROS انجام می‌شود. تأثیر ارزشمند کیتوzan را می‌توان به نقش آن در افزایش پایداری غشاء و کاهش سطوح MDA نسبت داد، زیرا گروه‌های آمینه خاص می‌تواند با ROS واکنش داده و رادیکال‌های غیرسمی تولید کند (Abdelaal et al., 2021; de Souza Silva et al., 2022) در کاهش محتوای مالون دی‌آلدهید مطابقت داشت (Abdelaal et al., 2021; de Souza Silva et al., 2022; Guan et al., 2009).

پرولین: نتایج مقایسه میانگین نشان دهنده افزایش معنی‌دار این صفت در همه غلظت‌های کیتوzan در مقایسه با نمونه شاهد است (شکل ۷-B). بیشترین و کمترین میزان پرولین به ترتیب به تیمار ۵۰ میلی‌گرم در لیتر کیتوzan و شاهد اختصاص داشت. تفاوت معنی‌داری بین غلظت ۵۰ و ۷۵ میلی‌گرم در لیتر مشاهده نشد. علاوه بر نقش اسمولیت، پرولین به حذف ROS، تثبیت ساختارهای درون سلولی، تامین انرژی و غیره کمک نموده و به عنوان یک چاپرون مولکولی برای تثبیت ساختار پروتئین عمل می‌کند. پرولین ترجیحاً در برگ‌ها انباسته می‌شود تا سطح کلروفیل را حفظ کند تا از فعالیت فتوستتری محافظت کند (Zhang et al., 2018; Safikhan et al., 2017). همچنین در تنظیم عملکرد میتوکندری‌ها، محافظت از کلروپلاست‌ها در برابر آسیب اکسیداتیو نقش اصلی را ایفا می‌کند. افزایش محتوای پرولین در پاسخ به تیمار با کیتوzan به نقش چندجانبه این آمینواسید در مکانیسم‌های

دافعی و سازگاری گیاهان مرتبط است. کیتوzan می‌تواند با ایجاد شرایط تنفس زا از جمله تولید گونه‌های فعال اکسیژن و فعال‌سازی مسیرهای سیگنال دهی دفاعی، واکنش‌های تنفس زا را تحریک کند (Abdelaal et al., 2021). افزایش میزان پروولین در پاسخ به کیتوzan در گزارشات دیگر هم نشان داده شده است (Zhang et al., 2017; Safikhan et al., 2018).



شکل ۷. نتایج مقایسه میانگین تاثیر غلظتهای مختلف کیتوzan بر مالون دی‌آلدهید (A)، پروولین (B)، کاتالاز (C) و پراکسیداز (D) همیشه بهار: C شاهد، C₂₅، C₅₀ و C₇₅ به ترتیب غلظت ۲۵، ۵۰ و ۷۵ میلی‌گرم در لیتر کیتوzan. میانگین حروف مشابه اختلاف معنی‌داری در سطح احتمال پنج درصد ندارند. نوار خط نشان‌دهنده خطای استاندارد است

Figure 7. Comparison results of the average effect of different concentrations of chitosan on anthocyanin (A), chlorophyll a (B) and chlorophyll b (C) of *Calendula officinalis* L.: C, control C₅₀, C₇₅ and C₇₅ respectively with concentrations of 25, 50 and 75 mg per liter of chitosan, respectively. The average of similar letters does not have a significant difference at the five percent probability level. The error bar indicates the standard error

فعالیت آنزیم‌های آنتی‌اکسیدانی کاتالاز و پراکسیداز: گیاهان مکانیسم‌های حفاظتی خاصی را تکامل داده‌اند که شامل آنتی‌اکسیدان‌های آنزیمی و غیر آنزیمی است. یک فرآیند کلیدی در سیستم دفاع آنتی‌اکسیدانی تبدیل آنزیمی رادیکال‌های آزاد O₂ به H₂O₂ و سمزدایی بیشتر توسط کاتالاز و پراکسیداز به O₂ است (de Souza Silva et al., 2022;

(Safikhan et al., 2018). تحقیق ما نشان داد که فعالیت‌های CAT و POD به طور قابل توجهی در گیاهان تیمار شده با غلظت‌های مختلف کیتوزان افزایش یافت. نتایج مقایسه میانگین نشان دهنده افزایش معنی‌دار فعالیت کاتالاز (شکل C-۷) و پراکسیداز (شکل D-۷) در همه غلظت‌های کیتوزان در مقایسه با نمونه شاهد است. بیشترین و کمترین فعالیت کاتالاز و پراکسیداز به ترتیب به تیمار ۵۰ میلی‌گرم در لیتر کیتوزان و شاهد اختصاص داشت. تفاوت معنی‌داری بین غلظت ۵۰ و ۷۵ میلی‌گرم در لیتر مشاهده نشد. فعالیت آنزیم‌های آنتی‌اکسیدانی از جمله کاتالاز مشابه با تحقیق حاضر در تحقیقات دیگر با کاربرد کیتوزان افزایش یافته است (Arya et al., 2022; Kahromi & Khara, 2021; Safikhan et al., 2018).

نتیجه‌گیری: کیتوزان به طور گستردگی در شرایط درون شیشه‌ای برای افزایش رشد کشت درون شیشه‌ای و تولید متابولیت‌های ثانویه مورد استفاده قرار گرفته است و اکثر مطالعات بهبودهای قابل توجهی را هنگام افزودن این الیسیتور زیستی به محیط پایه یا جایگزینی تنظیم کننده‌ای مرسوم رشد گیاه گزارش کردند. کیتوزان همچنین به دلیل ویژگی‌های منحصر به فرد خود، به عنوان یک ماده زیست‌سازگار برای تکثیر انبوه گیاهان و افزایش تولید صنعتی ترکیبات زیست‌فعال از طریق روش‌های سازگارتر با محیط‌زیست در نظر گرفته می‌شود. در این مطالعه نتایج به طور کلی نشان داد که کیتوزان باعث بهبود ویژگی‌های رشدی، فیزیولوژیکی، متابولیتی و بیوشیمیایی گیاه همیشه بهار شده و از بین تمامی غلظت‌های به کاربرده شده غلظت ۵۰ میلی‌گرم در لیتر آن در بهبود این ویژگی‌ها موثرتر بوده است.

سپاسگزاری: از معاونت پژوهشی دانشگاه هرمزگان به دلیل حمایت‌های مالی برای انجام این پژوهش سپاسگزاری می‌شود.

References

- Abdelaal, K., Attia, K. A., Niedbała, G., Wojciechowski, T., Hafez, Y., Alamery, S., Alateeq, T. K., & Arafa, S. A. (2021). Mitigation of Drought Damages by Exogenous Chitosan and Yeast Extract with Modulating the Photosynthetic Pigments, Antioxidant Defense System and Improving the Productivity of Garlic Plants. *Horticulturae*, 7(11), 510. <https://doi.org/10.3390/horticulturae7110510>
- Acemi, A., Bayrak, B., Çakır, M., Demiryürek, E., Gün, E., Eddine El Gueddari, N., & Özen, F. (2018). Comparative analysis of the effects of chitosan and common plant growth regulators on *in vitro* propagation of *Ipomoea purpurea* (L.) Roth from nodal explants. *In Vitro Cellular & Developmental Biology-Plant*, 54, 537-544. <https://doi.org/10.1007/s11627-018-9915-0>
- Aebi, H. (1974). Catalase, Methods of enzymatic analysis. Elsevier, pp. 673-684. <https://doi.org/10.1016/B978-0-12-091302-2.50032-3>
- Ahmad, W., Zahir, A., Nadeem, M., Garros, L., Drouet, S., Renouard, S., Doussot, J., Giglioli-Guivarc'h, N., Hano, C., & Abbasi, B. H. (2019). Enhanced production of lignans and

- neolignans in chitosan-treated flax (*Linum usitatissimum* L.) cell cultures. *Process biochemistry*, 79, 155-165. <https://doi.org/10.1016/j.procbio.2018.12.025>
- Ahmadi, E., Nasr, S. M. H., Jalilvand, H., & Savadkoohi, S. K. (2012). Contamination control of microbe *Ziziphus spina* [christti] seed *in vitro* culture. *Trees*, 26, 1299-1304. <https://doi.org/10.1007/s00468-012-0705-8>
- Ahmed, S. A., & Baig, M. M. V. (2014). Biotic elicitor enhanced production of psoralen in suspension cultures of *Psoralea corylifolia* L. *Saudi Journal of Biological Sciences*, 21(5), 499-504. <https://doi.org/10.1016/j.sjbs.2013.12.008>
- Ait Barka, E., Eullaffroy, P., Clément, C., & Vernet, G. (2004). Chitosan improves development, and protects *Vitis vinifera* L. against *Botrytis cinerea*. *Plant Cell Reports*, 22, 608-614. <https://doi.org/10.1007/s00299-003-0733-3>
- Algam, S., Xie, G., Li, B., Yu, S., Su, T., & Larsen, J. (2010). Effects of Paenibacillus strains and chitosan on plant growth promotion and control of Ralstonia wilt in tomato. *Journal of plant Pathology*, 593-600. <https://doi.org/10.5897/AJMR10.549>
- Arora, D., Rani, A., & Sharma, A. (2013). A review on phytochemistry and ethnopharmacological aspects of genus Calendula. *Pharmacognosy reviews*, 7(14), 179. <https://doi.org/10.4103/0973-7847.120520>
- Arya, S. S., Rookes, J. E., Cahill, D. M., & Lenka, S. K. (2022). Chitosan nanoparticles and their combination with methyl jasmonate for the elicitation of phenolics and flavonoids in plant cell suspension cultures. *International Journal of Biological Macromolecules*, 214, 632-641. <https://doi.org/10.1016/j.ijbiomac.2022.06.145>
- Attaran Dowom, S., Karimian, Z., Mostafaei Dehnavi, M., & Samiei, L. (2022). Chitosan nanoparticles improve physiological and biochemical responses of *Salvia abrotanoides* (Kar.) under drought stress. *BMC Plant Biology*, 22(1), 364. <https://doi.org/10.1186/s12870-022-03689-4>
- Bates, L. S., Waldren, R., & Teare, I. (1973). Rapid determination of free proline for water-stress studies. *Plant and soil*, 39, 205-207. <https://doi.org/10.1007/BF00018060>
- Bayraktar, M., Naziri, E., Akgun, I. H., Karabey, F., Ilhan, E., Akyol, B., Bedir, E., & Gurel, A. (2016). Elicitor induced stevioside production, *in vitro* shoot growth, and biomass accumulation in micropropagated *Stevia rebaudiana*. *Plant Cell, Tissue and Organ Culture (PCTOC)*, 127, 289-300. <https://doi.org/10.1007/s11240-016-1049-7>
- Cai, Z., Kastell, A., Mewis, I., Knorr, D., & Smetanska, I. (2012). Polysaccharide elicitors enhance anthocyanin and phenolic acid accumulation in cell suspension cultures of *Vitis vinifera*. *Plant Cell, Tissue and Organ Culture (PCTOC)*, 108, 401-409. <https://doi.org/10.1007/s11240-011-0051-3>

- Chakraborty, M., Hasanuzzaman, M., Rahman, M., Khan, M. A. R., Bhowmik, P., Mahmud, N. U., Tanveer, M., & Islam, T. (2020). Mechanism of plant growth promotion and disease suppression by chitosan biopolymer. *Agriculture*, 10(12), 624.
- Chourykae, B, Sreenamkhum O (2018) Effect of Chitosan on Growth of *In vitro* Seedling Culture of Dendrobium lindleyi Steud. Bur Sci J, 669-681.
<https://doi.org/10.3390/agriculture10120624>
- Coelho, N., & Romano, A. (2022). Impact of chitosan on plant tissue culture: recent applications. *Plant Cell, Tissue and Organ Culture (PCTOC)*, 148(1), 1-13.
<https://doi.org/10.1007/s11240-021-02156-6>
- Cola G, Cavenago B, Gardana CS, et al. (2024) Effect of Elicitor Treatments on Quality Attributes in Blueberry: Implications of Cultivar and Environmental Conditions. *Plants* 13, 1105.
<https://doi.org/10.1007/s11240-021-02156-6>
- de Souza Silva, P. T., de Souza, L. M., de Moraes, M. B., de Moraes, M. M., da Camara, C. A. G., & Ulisses, C. (2022). Effect of biotic elicitors on the physiology, redox system, and secondary metabolite composition of *Lippia alba* cultivated *in vitro*. *South African Journal of Botany*, 147, 415-424. <https://doi.org/10.1016/j.sajb.2022.01.042>
- Dzung, N. A., Khanh, V. T. P., & Dzung, T. T. (2011). Research on impact of chitosan oligomers on biophysical characteristics, growth, development and drought resistance of coffee. *Carbohydrate polymers*, 84(2), 751-755. <https://doi.org/10.1016/j.carbpol.2010.07.066>
- Dzung, N. A., Thang, N. T., Suchiva, V., Chandrkrachang, S., Methacanon, P., & Peter, M. (2002). Effect of oligoglucosamine prepared by enzyme degradation on the growth of soybean. *Advances of Chitin Science*, 5, 463-467.
- Fazal, H., Abbasi, B. H., Ahmad, N., & Ali, M. (2016). Elicitation of medicinally important antioxidant secondary metabolites with silver and gold nanoparticles in callus cultures of *Prunella vulgaris* L. *Applied biochemistry and biotechnology*, 180, 1076-1092. <https://doi.org/10.1007/s12010-016-2153-1>
- Forouzandeh, M., Mohkami, Z., & Fazelinasab, B. (2019). Evaluation of biotic elicitors foliar application on functional changes, physiological and biochemical parameters of fennel (*Foeniculum vulgare*). *Journal of Plant Production Research*, 25(4), 49-65. <https://doi.org/10.22069/jopp.2018.14077.2262>
- Golkar, P., Taghizadeh, M., & Yousefian, Z. (2019). The effects of chitosan and salicylic acid on elicitation of secondary metabolites and antioxidant activity of safflower under *in vitro* salinity stress. *Plant Cell, Tissue and Organ Culture (PCTOC)*, 137, 575-585. <https://doi.org/10.1007/s11240-019-01592-9>

- Guan, Y.-j., Hu, J., Wang, X.-j., & Shao, C.-x. (2009). Seed priming with chitosan improves maize germination and seedling growth in relation to physiological changes under low temperature stress. *Journal of Zhejiang University Science B*, 10, 427-433. <https://doi.org/10.1631/jzus.B0820373>
- Guru, A., Dwivedi, P., Kaur, P., & Pandey, D. K. (2022). Exploring the role of elicitors in enhancing medicinal values of plants under *in vitro* condition. *South African Journal of Botany*, 149, 1029-1043. <https://doi.org/10.1016/j.sajb.2021.10.014>
- Hatano, T., Kagawa, H., Yasuhara, T., & Okuda, T. (1988). Two new flavonoids and other constituents in licorice root: their relative astringency and radical scavenging effects. *Chemical and pharmaceutical bulletin*, 36(6), 2090-2097. <https://doi.org/10.1248/cpb.36.2090>
- Heath, R. L., & Packer, L. (1968). Photoperoxidation in isolated chloroplasts: I. Kinetics and stoichiometry of fatty acid peroxidation. *Archives of biochemistry and biophysics*, 125(1), 189-198. [https://doi.org/10.1016/0003-9861\(68\)90654-1](https://doi.org/10.1016/0003-9861(68)90654-1)
- Pourbeyrami Hir, Y., Adham, R., Chamani, E., Maleki Lajayer, H., & Hasanzadeh, M. (2022). Effect of chitosan on morpho-physiological traits and regeneration of *Iris pseudacorus* plantlets under *in vitro* conditions. *Journal of Plant Physiology and Breeding*, 12(2), 71-83. <https://doi.org/10.22034/jppb.2022.16255>
- Jami, S., Esmaeilzadeh, B. S., & Modarres, M. (2018). Effect of chitosan on micropropagation, secondary metabolites content and antioxidant activity of *Salvia leyiifolia* Benth. *Journal of Plant Physiology and Breeding*, 31, 568-578. <https://doi.org/10.22034/jppb.2022.16255>
- Jiao, J., Gai, Q.-Y., Wang, X., Qin, Q.-P., Wang, Z.-Y., Liu, J., & Fu, Y.-J. (2018). Chitosan elicitation of *Isatis tinctoria* L. hairy root cultures for enhancing flavonoid productivity and gene expression and related antioxidant activity. *Industrial crops and products*, 124, 28-35. <https://doi.org/10.1016/j.indcrop.2018.07.056>
- Kahromi, S., & Khara, J. (2021). Chitosan stimulates secondary metabolite production and nutrient uptake in medicinal plant *Dracocephalum kotschy*. *Journal of the Science of Food and Agriculture*, 101(9), 3898-3907. <https://doi.org/10.1002/jsfa.11030>
- Khan, M. S. I., Khatun, F., Afrin, S., & Hoque, M. (2020). Callus induction and plantlet regeneration in Chrysanthemum. *Int. J. Bus. Soc. Sci. Res*, 8(1), 06-10.
- Khan, T., Khan, T., Hano, C., & Abbasi, B. H. (2019). Effects of chitosan and salicylic acid on the production of pharmacologically attractive secondary metabolites in callus cultures of *Fagonia indica*. *Industrial crops and products*, 129, 525-535. <https://doi.org/10.1016/j.indcrop.2018.12.048>

- Kohli, S. K., Handa, N., Bali, S., Arora, S., Sharma, A., Kaur, R., & Bhardwaj, R. (2018). Modulation of antioxidative defense expression and osmolyte content by co-application of 24-epibrassinolide and salicylic acid in Pb exposed Indian mustard plants. *Ecotoxicology and environmental safety*, 147, 382-393. <https://doi.org/10.1016/j.ecoenv.2017.08.051>
- Lagrimini, L. M., & Rothstein, S. (1987). Tissue specificity of tobacco peroxidase isozymes and their induction by wounding and tobacco mosaic virus infection. *Plant physiology*, 84(2), 438-442. <https://doi.org/10.1104/pp.84.2.438>
- Leal, F., Rodrigues, A., Fernandes, D., Nunes, F., Cipriano, J., Ramos, J., Teixeira, S., Vieira, S., Carvalho, L., & Pinto-Carnide, O. (2007). *In vitro* multiplication of Calendula arvensis for secondary metabolites extraction. (Ed.),^(Eds.). III International Symposium on Acclimatization and Establishment of Micropropagated Plants 812. pp. 251-256. <https://doi.org/10.17660/ActaHortic.2009.812.33>
- Leelavathy, S., & Sankar, P. D. (2016). Curbing the Menace of Contamination in Plant Tissue Culture. *Journal of Pure & Applied Microbiology*, 10(3), 2145-2152.
- Lichtenthaler, H. K. (1987). Chlorophylls and carotenoids: pigments of photosynthetic biomembranes (*Methods in enzymology* Vol. 148, pp. 350-382). Elsevier. [https://doi.org/10.1016/0076-6879\(87\)48036-1](https://doi.org/10.1016/0076-6879(87)48036-1)
- Lima, A. d. M., Siqueira, A. S., Möller, M. L. S., Souza, R. C. d., Cruz, J. N., Lima, A. R. J., Silva, R. C. d., Aguiar, D. C. F., Junior, J. L. d. S. G. V., & Gonçalves, E. C. (2022). In silico improvement of the cyanobacterial lectin microvirin and mannose interaction. *Journal of Biomolecular Structure and Dynamics*, 40(3), 1064-1073. <https://doi.org/10.1080/07391102.2020.1821782>
- Lin, J.-Y., & Tang, C.-Y. (2007). Determination of total phenolic and flavonoid contents in selected fruits and vegetables, as well as their stimulatory effects on mouse splenocyte proliferation. *Food chemistry*, 101(1), 140-147. <https://doi.org/10.1016/j.foodchem.2006.01.014>
- Mahdavi, B., Modarres Sanavy, S., Aghaalikhani, M., Sharifi, M., & Alavi Asl, S. (2014). Effect of foliar application of chitosan on growth and biochemical characteristics of safflower (*Carthamus tinctorius* L.) under water deficit stress. *Iranian Journal of Field Crops Research*, 12(2), 229-236. <https://doi.org/10.22067/gsc.v12i2.39153>
- Malekpoor, F., Salimi, A., & Ghasemi Pirbalouti, A. (2017). Effect of bio-elicitor chitosan on physiological and morphological properties in purple basil (*Ocimum basilicum* L.) under water deficit. *Journal of Plant Ecophysiology*, 8(27), 56-71. <https://dorl.net/dor/20.1001.1.20085958.1395.8.27.5.6>

- Murashige, T., & Skoog, F. (1962). A revised medium for rapid growth and bio assays with tobacco tissue cultures. *Physiologia plantarum*, 15(3). <https://doi.org/10.1111/j.1399-3054.1962.tb08052.x>
- Nahar, S. J., Kazuhiko, S., & Haque, S. M. (2012). Effect of polysaccharides including elicitors on organogenesis in protocorm-like body (PLB) of *Cymbidium insigne* *in vitro*. *Journal of Agricultural Science and Technology. B*, 2(9B), 1029.
- Nourafcan, H. (2019). Effect of chitosan on physiological and morphological traits of Lemon Verbena (*Lippia citriodora* L.) under *in vitro* and field conditions. *Journal of Crop Ecophysiology*, 13(49 (1)), 73-86. <https://doi.org/10.30495/jcep.2019.664838>
- Obsuwan, K., Yoodee, S., & Uthairatanakij, A. (2010). Application of chitosan on *in vitro* growth of *Rhynchostylis gigantea* protocorms and seedlings. (Ed.),^(Eds.). I International Orchid Symposium 878. pp. 283-288. <https://doi.org/10.17660/ActaHortic.2010.878.35>
- Olennikov, D. N., & Kashchenko, N. I. (2022). Marigold metabolites: Diversity and separation methods of *Calendula* genus phytochemicals from 1891 to 2022. *Molecules*, 27(23), 8626. <https://doi.org/10.3390/molecules27238626>
- Paris, L., García-Caparrós, P., Llanderol, A., Silva, J., Reca, J., & Lao, M. (2019). Plant regeneration from nodal segments and protocorm-like bodies (PLBs) derived from *Cattleya maxima* J. Lindley in response to chitosan and coconut water. *Propagation of Ornamental Plants*, 19(1), 18-23. <https://www.cabidigitallibrary.org/doi/full/10.5555/20203245875>
- Rad, Z. P., Mokhtari, J., & Abbasi, M. (2019). *Calendula officinalis* extract/PCL/Zein/Gum arabic nanofibrous bio-composite scaffolds via suspension, two-nozzle and multilayer electrospinning for skin tissue engineering. *International Journal of Biological Macromolecules*, 135, 530-543. <https://doi.org/10.1016/j.ijbiomac.2019.05.204>
- Rahman, M., Mukta, J. A., Sabir, A. A., Gupta, D. R., Mohi-Ud-Din, M., Hasanuzzaman, M., Miah, M. G., Rahman, M., & Islam, M. T. (2018). Chitosan biopolymer promotes yield and stimulates accumulation of antioxidants in strawberry fruit. *PloS one*, 13(9), e0203769. <https://doi.org/10.1371/journal.pone.0203769>
- Mitu, R., Velicevici, G., Madoșă, E., Camen, D., Ciulca, A., Ciulca, S., & Lupulescu, C. (2020). Research on the variability of some morphological characteristics in local populations of *Calendula officinalis* L. *Journal of Horticulture, Forestry and Biotechnology*, 24, 80-83. <https://www.cabidigitallibrary.org/doi/pdf/10.5555/20219977355>
- Razavizadeh, R., Adabavazeh, F., & Komatsu, S. (2020). Chitosan effects on the elevation of essential oils and antioxidant activity of *Carum copticum* L. seedlings and callus cultures under *in vitro* salt stress. *Journal of Plant Biochemistry and Biotechnology*, 29, 473-483. <https://doi.org/10.1007/s13562-020-00560-1>

- Safikhan, S., Khoshbakht, K., Chaichi, M. R., Amini, A., & Motesharezadeh, B. (2018). Role of chitosan on the growth, physiological parameters and enzymatic activity of milk thistle (*Silybum marianum* (L.) Gaertn.) in a pot experiment. *Journal of Applied Research on Medicinal and Aromatic Plants*, 10, 49-58. <https://doi.org/10.1016/j.jarmap.2018.06.002>
- Salachna, P., & Zawadzińska, A. (2014). Effect of chitosan on plant growth, flowering and corms yield of potted freesia. *Journal of ecological engineering*, 15(3). <https://doi.org/10.12911/22998993.1110223>
- Santo Pereira, A. E., Silva, P. M., Oliveira, J. L., Oliveira, H. C., & Fraceto, L. F. (2017). Chitosan nanoparticles as carrier systems for the plant growth hormone gibberellic acid. *Colloids and Surfaces B: Biointerfaces*, 150, 141-152. <https://doi.org/10.1016/j.colsurfb.2016.11.027>
- Shah, M., Jan, H., Drouet, S., Tungmannithum, D., Shirazi, J. H., Hano, C., & Abbasi, B. H. (2021). Chitosan elicitation impacts flavonolignan biosynthesis in *Silybum marianum* (L.) Gaertn cell suspension and enhances antioxidant and anti-inflammatory activities of cell extracts. *Molecules*, 26(4), 791. <https://doi.org/10.3390/molecules26040791>
- Shahane, K., Kshirsagar, M., Tambe, S., Jain, D., Rout, S., Ferreira, M. K. M., Mali, S., Amin, P., Srivastav, P. P., & Cruz, J. (2023). An updated review on the multifaceted therapeutic potential of *Calendula officinalis* L. *Pharmaceuticals*, 16(4), 611. <https://doi.org/10.3390/ph16040611>
- Silva da Rocha, A., Rocha, E. K., Alves, L. M., Amaral de Moraes, B., Carvalho de Castro, T., Albarello, N., & Simões-Gurgel, C. (2015). Production and optimization through elicitation of carotenoid pigments in the *in vitro* cultures of *Cleome rosea* Vahl (Cleomaceae). *Journal of Plant Biochemistry and Biotechnology*, 24, 105-113. <https://doi.org/10.1007/s13562-013-0241-7>
- Silva, V., Singh, R. K., Gomes, N., Soares, B. G., Silva, A., Falco, V., Capita, R., Alonso-Calleja, C., Pereira, J. E., & Amaral, J. S. (2020). Comparative insight upon chitosan solution and chitosan nanoparticles application on the phenolic content, antioxidant and antimicrobial activities of individual grape components of Sousão variety. *Antioxidants*, 9(2), 178. <https://doi.org/10.3390/antiox9020178>
- Smith, R. H. (2013). *Plant tissue culture: techniques and experiments*. academic press. <https://doi.org/10.1016/B978-0-12-650340-1.X5001-9>
- Soland, S., & Laima, S. (1999). Phenolics and cold tolerance of *Brassica napus*. *Plant Agriculture*, 1, 1-5.
- Tantasawat, P., Wannajindaporn, A., Chantawaree, C., Wangpunga, C., Poomsom, K., & Sorntip, A. (2010). Chitosan stimulates growth of micropropagated plantlets. (Ed.),^(Eds.). I

International Orchid Symposium 878. pp. 205-212.

<https://doi.org/10.17660/ActaHortic.2010.878.24>

- Van, S. N., Minh, H. D., & Anh, D. N. (2013). Study on chitosan nanoparticles on biophysical characteristics and growth of Robusta coffee in green house. *Biocatalysis and Agricultural Biotechnology*, 2(4), 289-294. <https://doi.org/10.17660/ActaHortic.2010.878.24>
- Veraplakorn, V., & Kudan, S. (2021). Chitosan elicitor stimulation of *in vitro* growth and ex vitro acclimatization of Lantana camara L. *Agriculture and Natural Resources*, 55(3), 431–439-431–439. <https://doi.org/10.34044/j.anres.2021.55.3.13>
- Victório, C. P., Lage, C. L. S., & Sato, A. (2012). Tissue culture techniques in the proliferation of shoots and roots of Calendula officinalis. *Revista Ciência Agronômica*, 43, 539-545. <https://doi.org/10.1590/S1806-66902012000300017>
- Wagner, G. J. (1979). Content and vacuole/extravacuole distribution of neutral sugars, free amino acids, and anthocyanin in protoplasts. *Plant physiology*, 64(1), 88-93. <https://doi.org/10.1104/pp.64.1.88>
- Zhang, X., Li, K., Liu, S., Zou, P., Xing, R., Yu, H., Chen, X., Qin, Y., & Li, P. (2017). Relationship between the degree of polymerization of chitooligomers and their activity affecting the growth of wheat seedlings under salt stress. *Journal of agricultural and food chemistry*, 65(2), 501-509. <https://doi.org/10.1021/acs.jafc.6b03665>
- Zhao, J.-L., Zhou, L.-G., & Wu, J.-Y. (2010). Effects of biotic and abiotic elicitors on cell growth and tanshinone accumulation in *Salvia miltiorrhiza* cell cultures. *Applied Microbiology and Biotechnology*, 87, 137-144. <https://doi.org/10.1007/s00253-010-2443-4>
- Zou, P., Li, K., Liu, S., Xing, R., Qin, Y., Yu, H., Zhou, M., & Li, P. (2015). Effect of chitooligosaccharides with different degrees of acetylation on wheat seedlings under salt stress. *Carbohydrate polymers*, 126, 62-69. <https://doi.org/10.1016/j.carbpol.2015.03.028>